

## **Raport stiintific**

privind implementarea proiectului in perioada ianuarie – decembrie 2018

### **Denumirea etapei**

Caracterizarea morfostructurala avansata 3D+ a sistemelor MOS-NP

### **Activitati prevazute**

1. Controlul fin al parametrilor de sinteza chimica pentru favorizarea cresterii suprafetei specifice si a dispersiei uniforme a nanoparticulelor pe baza de Fe/Pd.
2. Evaluari globale structurale, morfologice si compozitionale prin masuratori XRD, SEM, EDS.
3. Distributia superficiala si in volum a ionilor metalici (substitutional, interstitial) prin spectroscopie EPR la temperatura variabila in corelatie cu masuratori XPS.
4. Studiul stabilitatii morfologice si structurale a sistemelor MOS-NP la temperatura variabila prin experimente de incalzire in-situ TEM.
5. Reconstructia 3D si modelarea la scala nanometrica prin tomografie cu electroni a sistemelor eterogene mesoporoase MOS-NP. (partea1)
6. Diseminare

A doua etapa a proiectului a avut in vedere pe de o parte rafinarea parametrilor de sinteza chimica si caracterizarea complexa prin tehnici fizico-chimice consacrate a structurilor mezoporoase pe baza de oxizi metalici ( $\text{SnO}_2$ ,  $\text{ZnO}$ ,  $\text{In}_2\text{O}_3$ ) decorate cu nanoparticule metalice sau oxidice pe baza de Pd sau Fe si, pe de alta parte, optimizarea algoritmilor de reconstructie 3D si de segmentare in vederea reducerii/eliminarii artifactelor si a reproducerii cat mai fidele in 3 dimensiuni a morfologieei obiectelor microscopice nanostructurate.

### **1. Controlul fin al parametrilor de sinteza chimica pentru favorizarea cresterii suprafetei specifice si a dispersiei uniforme a nanoparticulelor pe baza de Fe/Pd.**

Materialele mezoporoase de  $\text{SnO}_2$  pur sau dopat cu  $\text{ZnO}$  sau  $\text{In}_2\text{O}_3$  au fost preparate prin sinteza solvo/hidrotermala folosind surfactanti ionici si neionici ca agenti de directionare structurala. Pentru prepararea nanopulberilor s-a utilizat atat calea de sinteza solvothermală/hidrotermală descrisă în prima etapă a proiectului cat și o a doua rută de sinteza,

usor modificata in raport cu cea utilizata in etapa anterioara, aceasta din urma fiind descrisa in cele ce urmeaza.

### ***Sinteza hidrotermala a nanoparticulelor de SnO<sub>2</sub> pur, dopat cu x mol.% Zn si decorate cu Fe<sub>2</sub>O<sub>3</sub> si PdO<sub>2</sub> prin impregnare uscata***

Prepararea nanoparticulelor de SnO<sub>2</sub> pur si dopat cu Zn a fost realizata prin metoda hidrotermala, folosind ca precursori SnCl<sub>4</sub>·5H<sub>2</sub>O (98%, Fluka), ZnCl<sub>2</sub> (> 98%, Merck), si uree (> 98%, Alfa Aesar). Intr-o prima etapa se dizolva surfactantul hexadecyltrimethylammonium bromide (CTAB, >99%, Sigma) intr-un pahar Berzelius cu 100 ml apa bidistilata si se lasa la agitat pe plita magnetica timp de 24 ore, timp in care se formeaza spuma. Se adauga SnCl<sub>4</sub> (si ZnCl<sub>2</sub> in cantitatile corespunzatoare pentru probele dopate, respectiv 15 si 30 mol. %) peste solutia de CTAB si se lasa la agitat timp de 2 ore. Ulterior se adauga cantitatea calculata de uree si se mai lasa la agitat timp de 2 ore. Continutul paharului se toarna intr-un tub din teflon si se introduce in autoclava, se inchide etans autoclava si se seteaza temperatura la 160°C. Se lasa sa reactioneze la aceasta temperatura timp de 24 ore. Dupa oprirea si racirea autoclavei, continutul din tubul din teflon se separa prin centrifugare si apoi se spala in mod repetat cu apa bidistilata, apoi se usuca la 100°C timp de 12 ore in etuva. Dupa ce s-a uscat, se mojareaza si se pune intr-un creuzet din portelan si se baga la cuptor la 550°C timp de 2 ore.

### ***Decorarea structurilor mezoporoase cu nanoparticule metalice sau oxidice pe baza de Pd sau Fe***

Pentru decorarea cu nanoparticule pe baza de Pd sau Fe a structurilor de SnO<sub>2</sub> pure sau dopate s-au utilizat, de asemenea, doua metode: impregnarea umeda si impregnarea semi-uscata.

#### ***Impregnarea umeda***

Nanoparticulele de Pd au fost dispersate in matrici oxidice de tip SnO<sub>2</sub> dopate cu x mol% In<sub>2</sub>O<sub>3</sub> (x = 1, 10, 20) printr-o ruta directa de sinteza solvotermală asistată de un surfactant neionic – Brij 35. În vederea obținerii unui grad de dispersie ridicat al Pd și In au fost menținute condiții de agitare energetică (1000 rot/min) atât pentru procesul de maturare cât și pentru tratamentul solvotermal efectuat la 160 °C timp de 48 h. Precipitatul obținut a fost uscat și tratat termic la 600 °C în aer, în vederea definitivării retelei cristaline.

#### ***Impregnarea semi-uscata***

Dupa ce se scoate de la cuptor, o parte din pulberea rezultata se cantareste pentru etapa de decorare. Pentru decorarea cu Fe<sub>2</sub>O<sub>3</sub> si PdO<sub>2</sub> s-a ales metoda impregnarii uscate sau semi-uscate in care se foloseste cantitatea minima de apa la dizolvarea precursorului de Fe si Pd. Impregnarea uscata presupune umectarea substratului, adica a pulberii de SnO<sub>2</sub> pur sau dopat cu Zn, cu o solutie de Pd(NO<sub>3</sub>)<sub>2</sub> corespunzatoare a 0.5% (procente masice) pentru decorare cu PdO<sub>2</sub>, si respectiv o solutie de FeCl<sub>3</sub> corespunzatoare a 10% (procente masice) pentru decorare cu Fe<sub>2</sub>O<sub>3</sub>. Suspensiile astfel rezultate se lasa la agitat la temperatura camerei timp de o ora. Urmeaza o

etapa de uscare la 45 °C timp de cateva ore, dupa care se mojareaza si se trateaza termic din nou la 550 °C timp de 2 ore.

Sistemele mezoporoase de SnO<sub>2</sub> dopate si decorate preparate in cadrul acestei etape de proiect sunt enumerate in tabelul 1.

**Tabelul 1.** Materialele oxidice sintetizate

Compozitie nominala	Surfactant utilizat	Eticheta proba
SnO <sub>2</sub> + 1% In <sub>2</sub> O <sub>3</sub>	Brij 52	Sn In 1
SnO <sub>2</sub> + 10% In <sub>2</sub> O <sub>3</sub>	Brij 52	Sn In 10
SnO <sub>2</sub> + 20% In <sub>2</sub> O <sub>3</sub>	Brij 52	Sn In 20
SnO <sub>2</sub> + 1% In <sub>2</sub> O <sub>3</sub> +Pd	Brij 52	Pd1InSn
SnO <sub>2</sub> + 10% In <sub>2</sub> O <sub>3</sub> +Pd	Brij 52	Pd10InSn
SnO <sub>2</sub> + 20% In <sub>2</sub> O <sub>3</sub> +Pd	Brij 52	Pd20InSn
SnO <sub>2</sub>	CTAB	
SnO <sub>2</sub> +Pd0.5%	CTAB	
SnO <sub>2</sub> +10 mol% ZnO	CTAB	
SnO <sub>2</sub> +30 mol% ZnO	CTAB	
SnO <sub>2</sub> + Fe <sub>2</sub> O <sub>3</sub>	CTAB	

## 2. Evaluari globale structurale, morfologice si compozitionale prin masuratori XRD, SEM, EDS.

Examinarea morfostructurala globala a probelor s-a facut folosind tehniciile microstructurale si spectroscopice consacrate in stiinta materialelor: difractia de raze X (XRD), microscopia electronica cu baleaj (SEM) si spectroscopia de raze X cu dispersie in energie (EDS).

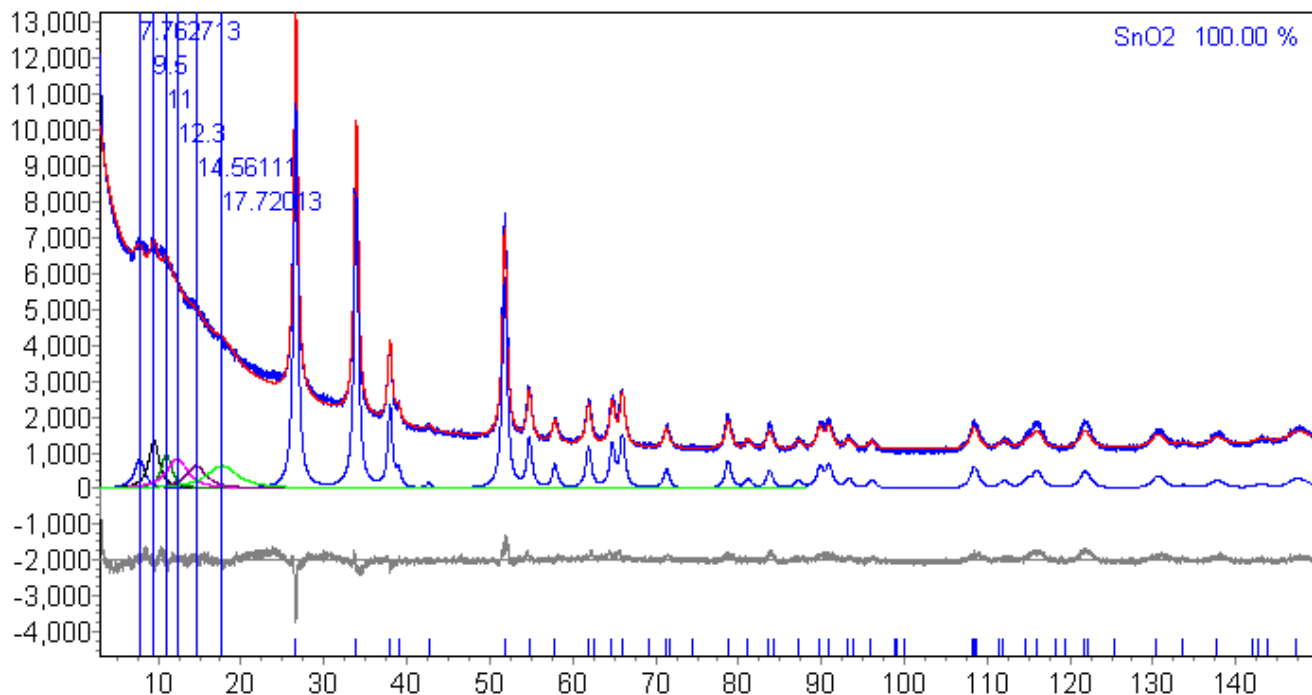
### 2.1 Analiza structurala prin difractie de raze X

Analiza de difractie de raze X (XRD) a probelor s-a realizat prin masuratori Bragg-Brentano pe pulberi din probe, identificarea fazelor cristaline folosind baze de date pentru difractorgrame de raze X si analiza Rietveld; din aceasta rezulta parametrii celulei elementare pentru fiecare faza cristalina: constantele de retea (a, b, c), dimensiunea mediata pe volum a cristalitelor de difractie (d), precum si gradul de ocupare atomic pe pozitiile cristaline neechivalente din care rezulta gradul de dopare si procentul de greutate a fazelor cristaline. Pentru a optimiza proprietatile senzitive s-au folosit mai multe metode de sinteza in care s-au modificat surfactantul (Bj, CTAB), dopajul (Zn, In), elementul de decorare (Pd, Fe), si tratament de reducere post-decorare la diverse temperaturi (550 °C, 600 °C, 700 °C). In continuare prezentam analiza structurala grupata pe tipul de sinteza.

### ***SnO<sub>2</sub> pur CTAB 550 °C***

Pe langa faza majoritara de SnO<sub>2</sub> (tetragonal, P42/mnm (#136)) se observa prezenta unei faze quasi-amorfe. Considerand compozitia fazei quasi-amorfe aceeasi cu cea cristalina, procentul de greutate al fazei cristaline este de 72%. De remarcat dimensiunea medie a cristalitelor de difractie de 16 nm, care comparativ cu probele dopate si decorate este maxima (vezi in continuare).

Proba	Faza cristalina	Crystalline wt %	a [Å]	b [Å]	d(cryst) [nm]
<b>SnO<sub>2</sub> CTAB 550 C</b>	<b>SnO<sub>2</sub> (tetragonal)</b>	<b>100</b>	<b>4.739(6)</b>	<b>3.187(0)</b>	<b>16</b>
	Quasi-amorf	100-72			



**Figura 1.** Diagrama de difractie de raze X in cazul probei pure de SnO<sub>2</sub> preparate prin sinteza hidrotermala in prezenta surfactantului CTAB.

### ***SnO<sub>2</sub> dopat cu In (1, 10, 20) (Bj/CTAB) 600 °C***

Pe langa faza majoritara de SnO<sub>2</sub> (tetragonal (#136)), in functie de gradul de dopare cu In se observa prezenta unei faze secundare de In<sub>2</sub>O<sub>3</sub> cubic, grup spatial I2<sub>13</sub> (#199) in procent de greutate de aproximativ 6%. Deasemenea se observa prezenta unor faza quasi-amorfe. Procentul de greutate al fazelor cristaline este de 63 %, 61 %, 59 % pentru probele dopate cu In de 1 %, 10%, si respectiv 20 %.

In urma dopajului, faza tetragonala de  $\text{SnO}_2$  sufera o crestere a parametrilor de retea  $a$  si  $c$  si simultan o scadere a dimensiunii medie a cristalitelor de difractie de la 11 nm la 4-6 nm.

Pentru dopajul nominal de 20% se observa ca maximele de difractie 110 (corespunzator distantei interplanare  $d=3.36 \text{ \AA}$ ) si 011 (corespunzator distantei interplanare  $d=2.65 \text{ \AA}$ ) prezinta o anizotropie fata de factorii de structura teoretici, in sensul ca orientarea 011 este favorizata. Datorita dimensiunii foarte mici de cristalite nu se poate face deosebirea intre orientare preferentiala (texturare) si anizotropie de cristalit de difractie (abatere de la forma sferica), cel mai probabil fiind un efect combinat ce poate fi confirmat prin analiza TEM.

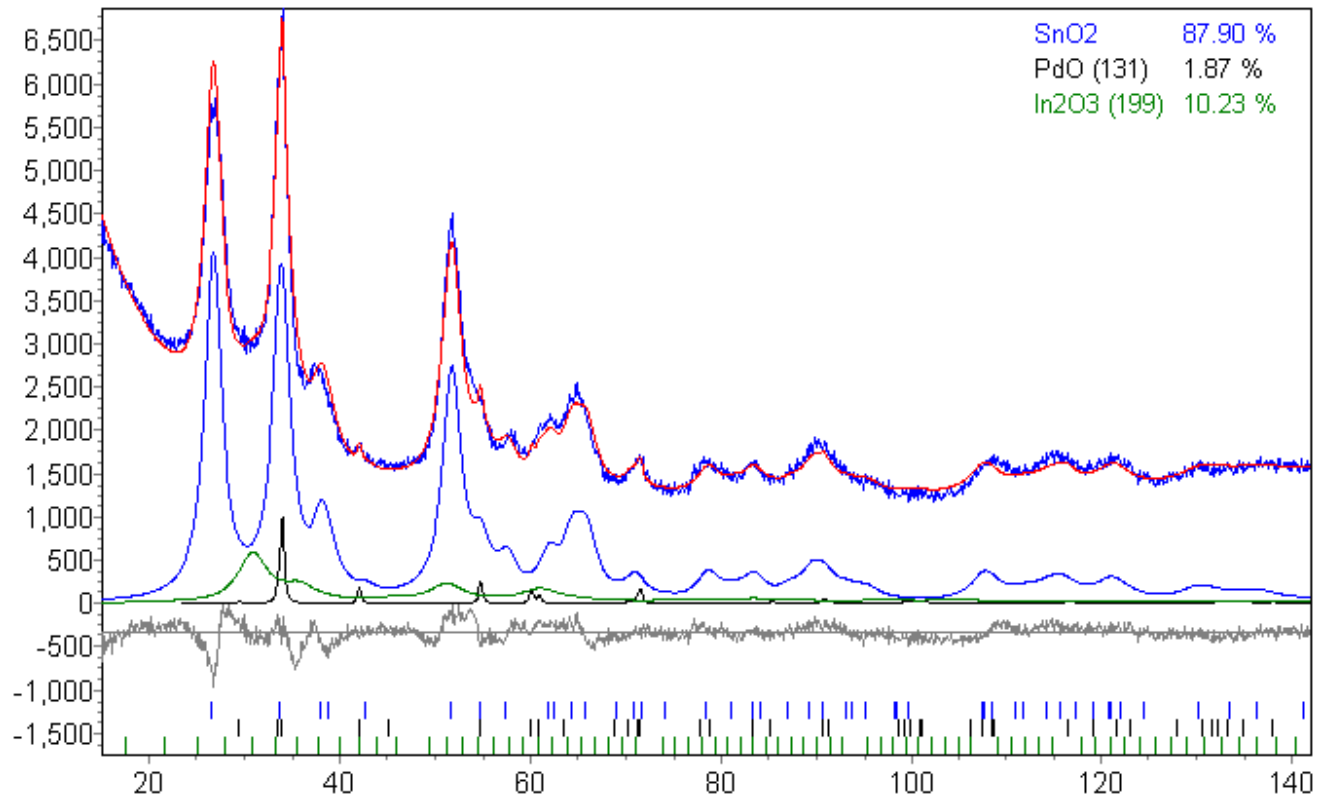
Proba	Faza cristalina	Fractia cristalina wt %	$a [\text{\AA}]$	$b, c [\text{\AA}]$	Dimens. crist. [nm]
<b>SnIn(1) Bj 600C</b>	<b><math>\text{SnO}_2</math> (tet)</b>	<b>100</b>	<b>4.741</b>	<b>3.190</b>	<b>11</b>
	Quasi-amorf	100-63			
<b>SnIn(10) Bj 600C</b>	<b><math>\text{SnO}_2</math> (tet)</b>	<b>93.6</b>	<b>4.744</b>	<b>3.194</b>	<b>4</b>
	$\text{In}_2\text{O}_3$ (cub)	6.4	9.976		4
	Quasi-amorf	100-61			
<b>SnIn(20) CTAB 600C</b>	<b><math>\text{SnO}_2</math> (tet)</b>	<b>94</b>	<b>4.753</b>	<b>3.199</b>	<b>6</b>
	$\text{In}_2\text{O}_3$ (cub)	6	10.053		3.5
	Quasi-amorf	100-59			

#### *$\text{SnO}_2$ dopat cu In (1, 10, 20) (Brij/CTAB) 600 °C si decorat cu Pd*

In urma decorarii cu oxid de Pd si a tratamentului de reducere, se observa disparitia fazelor quasiamorfe (vezi figura de difractie pentru proba SnIn(20)Pd). Pentru probele cu dopaj de In de 10 % si 20% se observa prezenta de faze secundare de  $\text{In}_2\text{O}_3$  cubic si  $\text{PdO}$  tetragonal, grup spatial P42/mmc (#131)). Modificarea intensitatilor relative ale primelor trei maxime de difractie pentru structura de  $\text{SnO}_2$  a fost atribuita orientarii preferentiale (PO) si evaluata prin modelul March-Dolasse (MD) pentru maximele (110)/(011), si prin modificarea factorului de structura  $F(hkl)$  datorat gradului de ocupare diferit de 1 (100%) pentru pozitiile structurale inechivalente ale ionilor de Sn si O. Valorile subunitare sugereaza prezenta de defecte de tip de vacanta in special pentru pozitia atomului de Sn, care creste odata cu gradul de dopare cu In.

Proba	Faza cristalina	Fractie cristalina wt %	a [Å]	b, c [Å]	Dimens. crist. [nm]	Ocup. Sn/O	PO (MD) (110)/(011)
<b>Pd1InSn Bj 600C</b>	<b>SnO<sub>2</sub> (tet)</b>	<b>100</b>	<b>4.738</b>	<b>3.187</b>	<b>12.7</b>	<b>0.9 / 0.93</b>	<b>0.99 / 0.94</b>
<b>Pd10InSn Bj 600C</b>	<b>SnO<sub>2</sub> (tet)</b>	<b>94.9</b>	<b>4.744</b>	<b>3.194</b>	<b>4</b>	<b>0.8 / 0.97</b>	<b>1.03 / 0.91</b>
	In <sub>2</sub> O <sub>3</sub> (cub)	3.33	10.00	-	4.1		
	PdO (tet)	1.78	3.039	5.432	28.3		
<b>Pd20InSn CTAB 600C</b>	<b>SnO<sub>2</sub> (tet)</b>	<b>87.9</b>	<b>4.747</b>	<b>3.208</b>	<b>4.3</b>	<b>0.78 / 1.0</b>	<b>0.66/0.87</b>
	In <sub>2</sub> O <sub>3</sub> (cub)	10.23	10.10	-	2.7		
	PdO (tet)	1.87	3.042	5.482	16.9	-	-

SnIn(20)Pd 600C

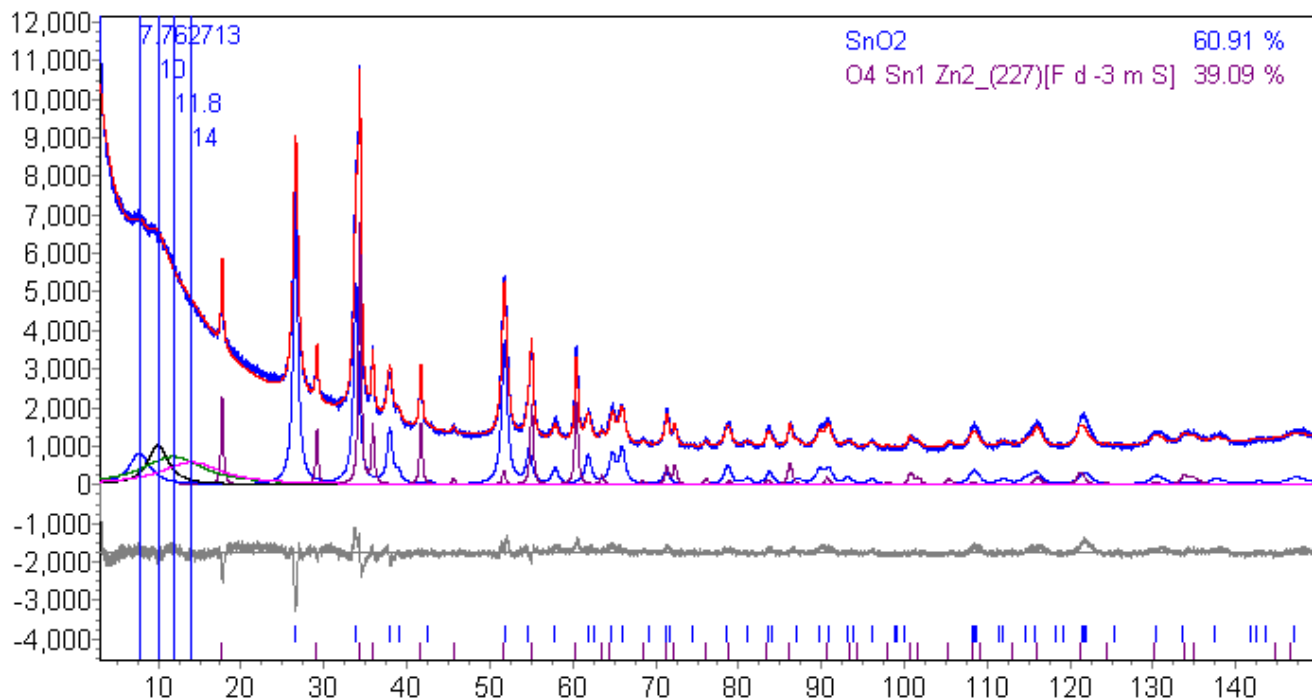


**Figura 2.** Diagrama XRD tipica in cazul probelor de SnO<sub>2</sub> dopate cu In si decorate cu Pd.

### ***$\text{SnO}_2$ dopat cu Zn (30) CTAB 700 °C***

Difractia de raze X arata prezența de fază secundară de  $\text{SnZn}_2\text{O}_4$ , structură cubică, grup spațial Fd-3mS (#227) în procent de greutate de 39% în raport cu fază de  $\text{SnO}_2$  și prezența de faze quasi-amorfe, procentul de greutate al fazelor cristaline fiind de 66%. De asemenea se observă că dimensiunea medie a cristalitelor de difracție este relativ mare (14 nm), apropiată ca valoare de cea pentru  $\text{SnO}_2$  pur CTAB 550 °C (16 nm).

Proba	Faza	Fractia cristalina wt %	a [Å]	b, c [Å]	Dimensiune medie cristalit [nm]
<b><math>\text{SnZn}(30)</math> CTAB 700C</b>	$\text{SnO}_2$ (tet)	<b>61</b>	<b>4.742(7)</b>	<b>3.186(2)</b>	<b>14</b>
	$\text{SnZn}_2\text{O}_4$ (cub)	39	8.664(7)		30
	Quasi-amorf	100-66			



**Figura 3.** Diagrama XRD în cazul probei de  $\text{SnO}_2$  dopat cu Zn (30 mol%  $\text{ZnO}$ ).

### ***SnO<sub>2</sub> dopat cu Zn si decorat cu Fe<sub>2</sub>O<sub>3</sub> sau PdO***

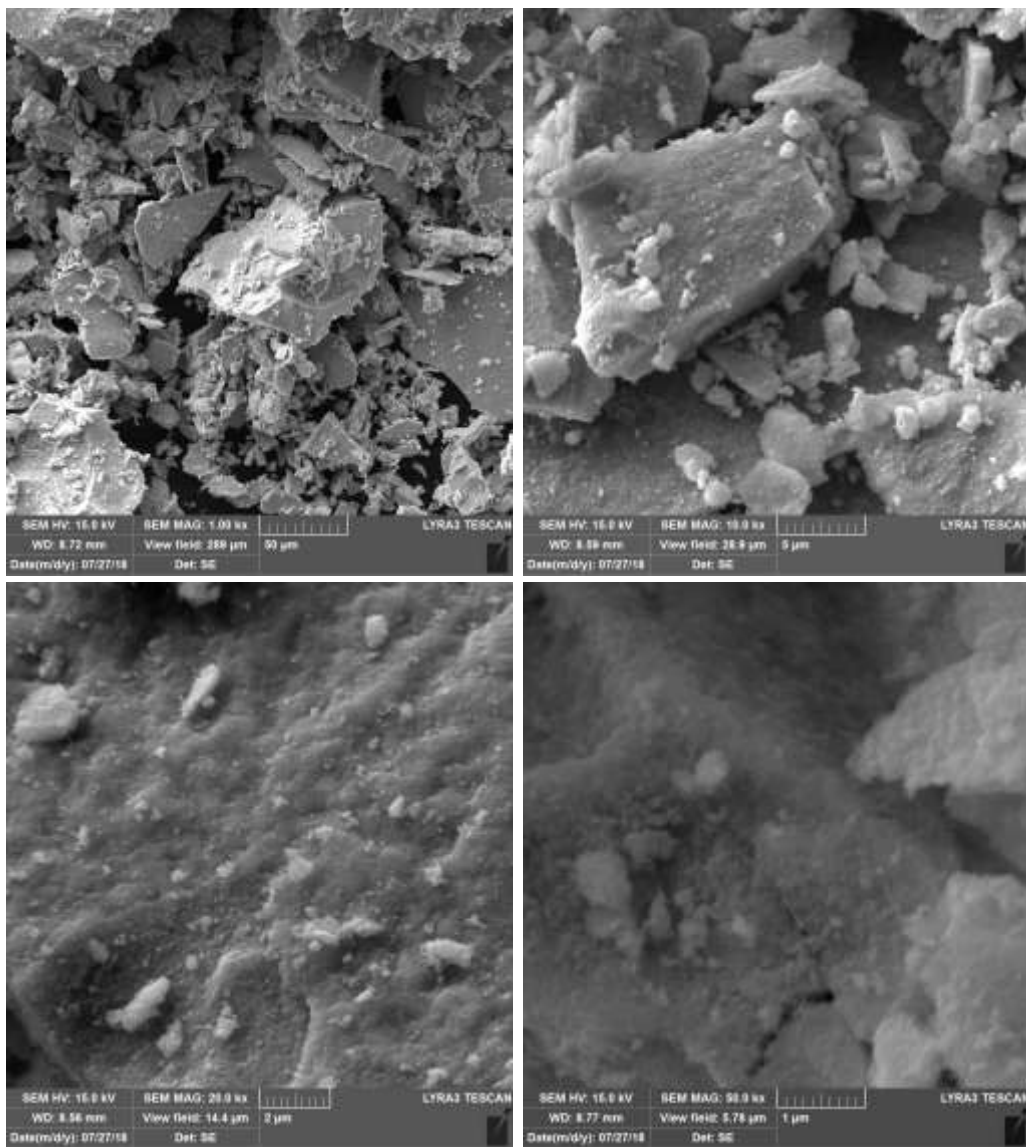
S-au preparat probe de SnO<sub>2</sub> folosind CTAB ca surfactant, dopat cu Zn si decorat cu PdO si Fe<sub>2</sub>O<sub>3</sub>. In majoritatea probelor s-a identificat formarea fazei tetragonale de SnO<sub>2</sub> cu dimensiune medie a cristalitelor de difractie intre 7-11 nm. Fazele corespunzatoare complexului de decorare PdO si Fe<sub>2</sub>O<sub>3</sub> nu s-au putut identifica in difractie datorita procentului de faza redus ( 0.5% pentru PdO) si datorita intensitatii de difractie mici a fazei de Fe<sub>2</sub>O<sub>3</sub> in raport cu cea de SnO<sub>2</sub>. Intr-o prima incercare, la doparea cu Zn 15 % si 30 % s-a observat formarea de faze quasi-amorfe astfel incat procentul de greutate al fazelor cristaline a fost de 35% si respectiv 73%. Pentru proba SnZn(30) s-a observat de asemenea formarea fazei secundare de SnZn<sub>2</sub>O<sub>4</sub> (cubic Fd-3mS (#227)) in procent de greutate de 6%.

Proba	Faza cristalina	Fractia cristalina wt %	a [Å]	b [Å]	Dimens. crist. [nm]
SnO <sub>2</sub> CTAB (1)	SnO <sub>2</sub> (tet)	100	4.735(2)	3.184(2)	9
SnO <sub>2</sub> CTAB (5)	SnO <sub>2</sub> (tet)	100	4.735(9)	3.184(6)	11
SnO <sub>2</sub> CTAB (1) Pd(0.5)	SnO <sub>2</sub> (tet)	100	4.734(8)	3.185(4)	9
SnO <sub>2</sub> Zn(10) CTAB (4)	SnO <sub>2</sub> (tet)	100	4.738(8)	3.186(0)	7
SnO <sub>2</sub> Zn(10) CTAB (4) Fe <sub>2</sub> O <sub>3</sub> (10)	SnO <sub>2</sub> (136)	100	4.736(9)	3.183(9)	7
SnO <sub>2</sub> Zn(15) CTAB (2)	SnO <sub>2</sub> (136)	100	4.742(3)	3.188(6)	5.4
	Quasi-amorph	100-35			
SnO <sub>2</sub> Zn(30) CTAB (3)	SnO <sub>2</sub> (136)	94	4.747(4)	3.193(1)	4
	SnZn <sub>2</sub> O <sub>4</sub> (227)	6	8.897(2)		9
	Quasi-amorph	100-73			

### **2.2 Analiza morfologica si compozitionala prin SEM si EDS**

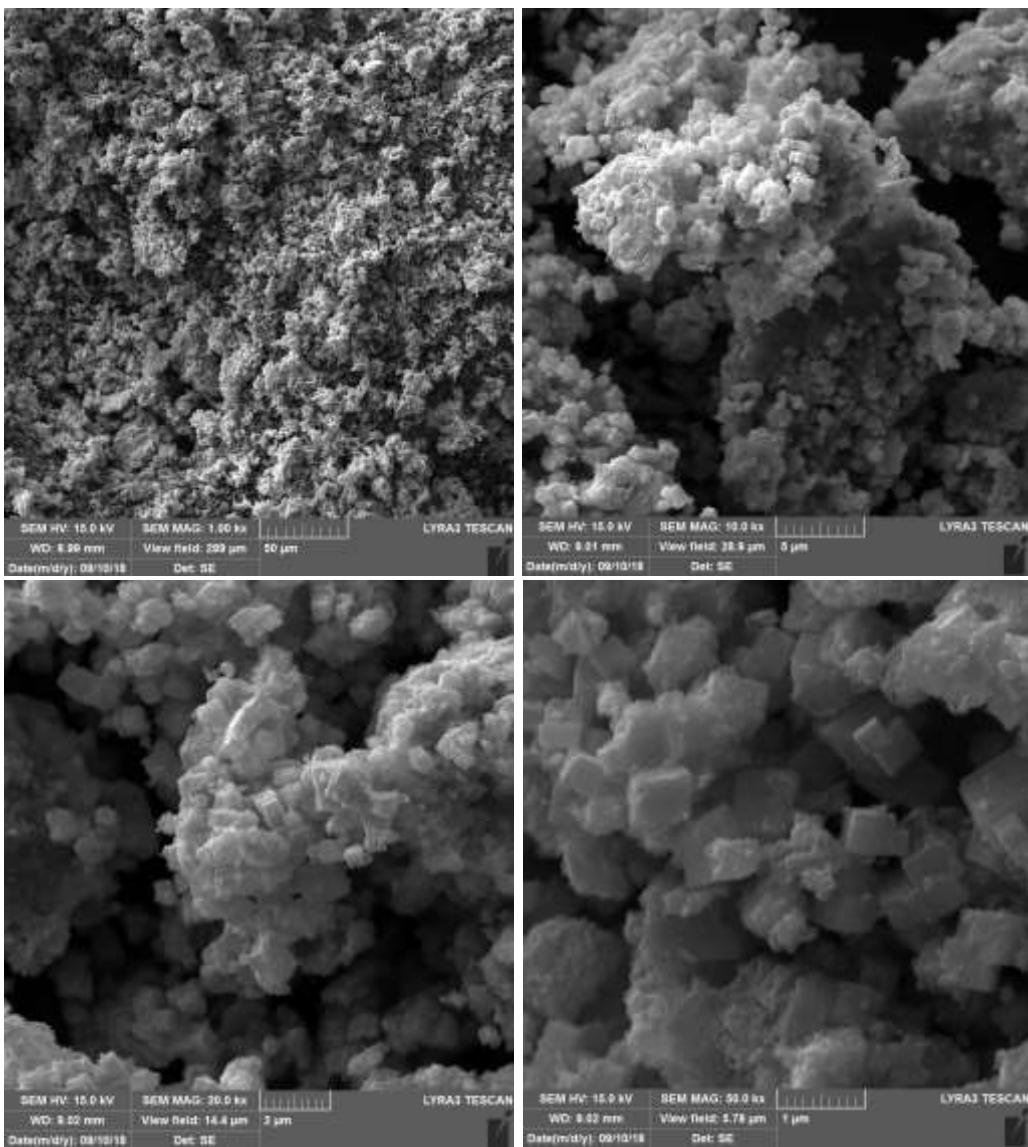
Pentru investigatiile de Microscopie Electronica de Baleaj (SEM) s-a utilizat un microscop electronic TESCAN model LYRA3XMU dotat cu filament cu emisie in camp (FEG), detectori de electroni secundari (SE) si electroni retroimprastiati (BSE). Pentru analizele chimice elementale (EDS) s-a folosit un detector BRUKER.

Analizele morfologice prin SEM arata ca pulberile investigate sunt alcătuite din cristalite cu dimensiuni nanometrice care formează aglomerări compacte de dimensiuni micrometrice. Aceleasi caracteristici morfologice se pot observa la aproape toate probele sintetizate, indiferent de calea de sinteza si de dopaj. Un exemplu ilustrativ in acest sens il reprezinta seria de imagini SEM la mariri in domeniul 1-50 kx din figura 4 in cazul probei de SnO<sub>2</sub> dopate cu In 1% si decorate cu Pd (proba Pd1InSn).



**Figura 4.** Serie de imagini SEM la 1, 10, 20 si 50 kx marire care demonstreaza morfologia probelor de SnO<sub>2</sub> pure sau dopate cu In constant din pulberi de cristalite nanometrice grupate in aglomerari compacte de dimensiuni micrometrice.

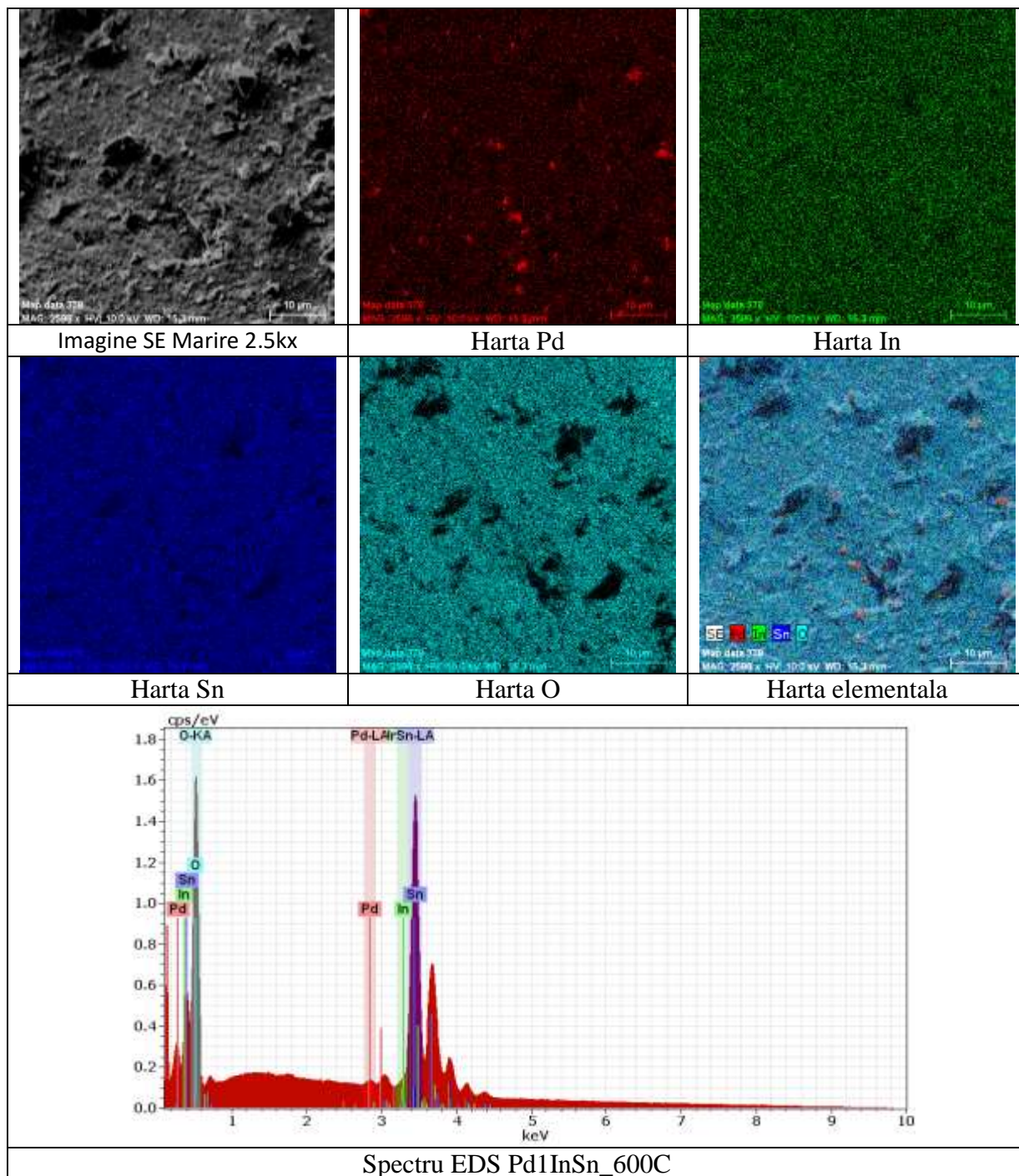
O exceptie o reprezinta proba de  $\text{SnO}_2$  dopata cu Zn 10 mol% unde tratamentul termic la 700 °C a dus la cresterea dimensiunii medii de cristalit evidentiata prin XRD si modificarea morfologiei la nivel micrometric (figura 5).



**Figura 5.** Serie de imagini SEM la 1, 10, 20 si 50 kx marire care demonstreaza morfologia probei de  $\text{SnO}_2$  dopate cu Zn (ZnO 30 mol%).

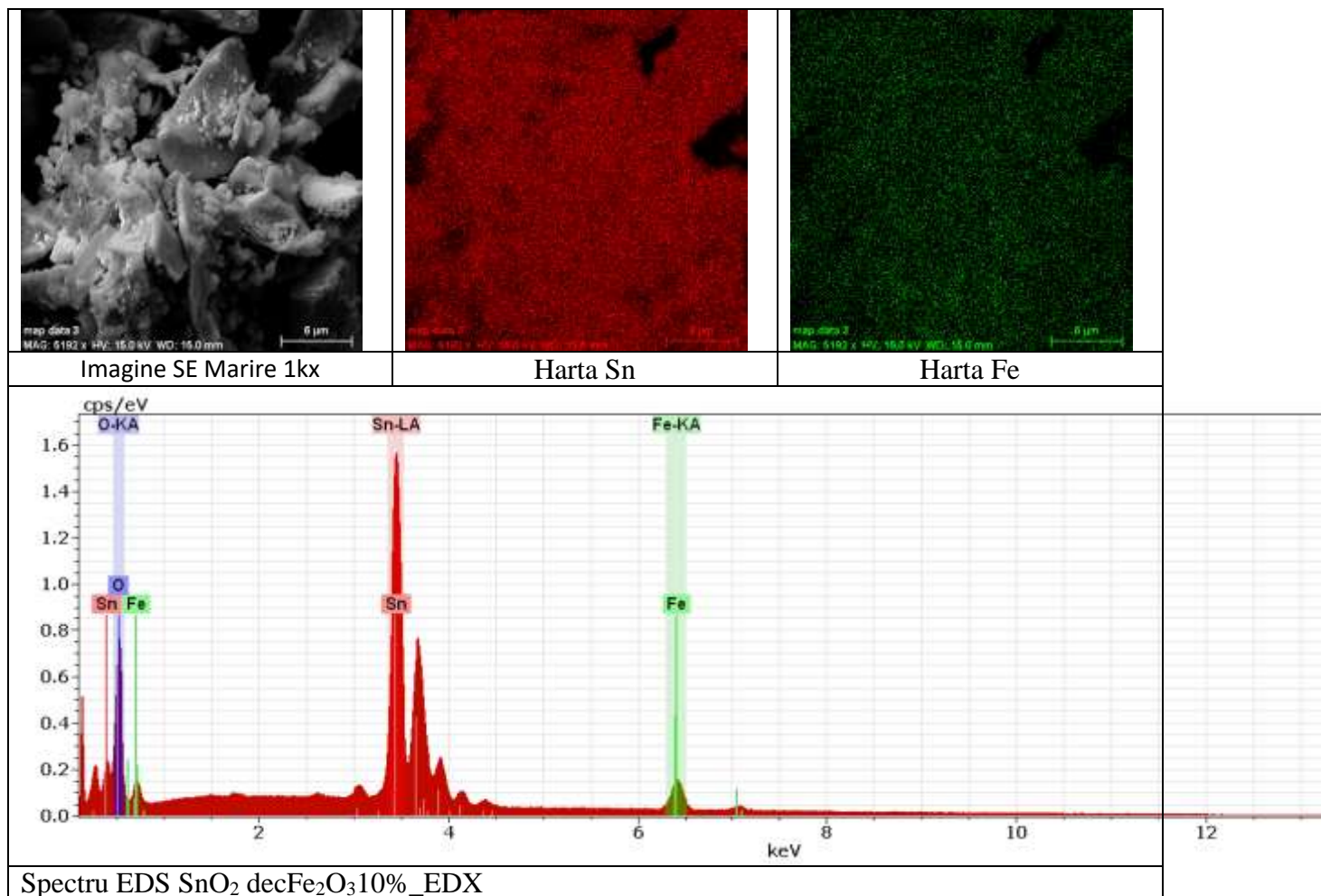
Un interes deosebit il reprezinta modul de repartizare a elementelor chimice Pd si Fe in cazul probelor de  $\text{SnO}_2$  decorate cu nanoparticule oxidice. In acest sens s-au inregistrat harti chimice elementale prin cartografie SEM-EDS in diverse locuri pe proba si la diverse scari de marire. Un exemplu reprezentativ in ceea ce priveste probele decorate cu Pd este cel din figura 6 unde sunt expuse hartile chimice elementale in cazul Sn, In O si Pd corespunzatoare imaginii SEM

asociate. Daca in cazul Sn, In si O hatile chimice arata o repartitie uniforma a elementelor chimice, in cazul Pd se constata acumulari locale pe arii de cativa micrometri patrati. Aceasta maniera de repartizare a Pd s-a constatat in cazul tuturor probelor decorate cu Pd.



**Figura 6.** Imagine SEM, harti chimice elementale ale Sn, In, O si Pd si spectrul EDS corespunzator in cazul probei de  $\text{SnO}_2$  dopate cu In (1 mol%  $\text{In}_2\text{O}_3$ ) si decorate cu Pd (proba Pd1InSn).

O situatie diferita se inregistreaza in cazul probelor decorate cu Fe prin impregnare semiuscata cu  $\text{Fe}_2\text{O}_3$ . Un exemplu ilustrativ este prezentat in figura 7 unde se observa repartizarea uniforma a Fe, comparabila cu cea a Sn.



**Figura 7.** Imagine SEM, harti chimice elementale ale Sn si Fe precum si spectrul EDS corespunzator in cazul probei de  $\text{SnO}_2$  decorate cu Fe.

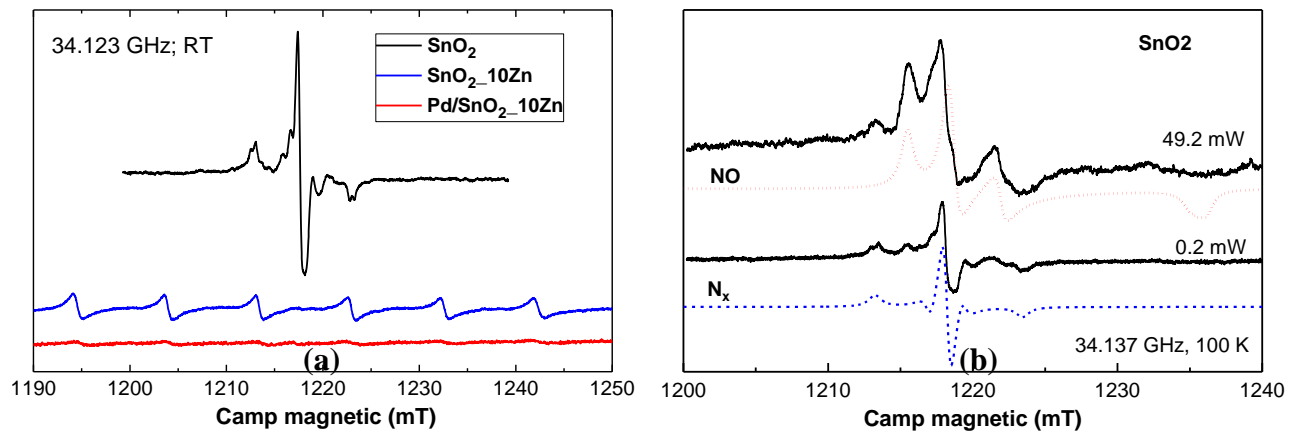
Pentru investigarea la scala mai fina a distributiei elementelor chimice pe suprafata si in volum precum si formarea unor defecte structurale specifice s-au utilizat tehnici spectroscopice de rezonanta magnetica EPR si de fotoelectroni XPS.

### 3. Distributia superficiala si in volum a ionilor metalici (substitutional, interstitial) prin spectroscopie EPR la temperatura variabila in corelatie cu masuratori XPS.

#### Investigatii prin spectroscopie RES

Au fost investigate mai multe probe sub forma de pulbere din sistemul SnO<sub>2</sub>-ZnO si SnO<sub>2</sub>-In<sub>2</sub>O<sub>3</sub>, cu continut variabil de Zn si In, sintetizate cu acelasi surfactant. S-a urmarit efectul dopantului si a decorarii cu Pd asupra defectelor paramagnetice observate prin RES. Au fost efectuate masuratori RES in regim continuu in banda Q (34 GHz) la temperatura camerei (RT – 300 K) si la temperaturi joase, de pana la 100 K, folosind spectrometrul Bruker ELEXSYS-E500Q. Probele au fost introduse in tuburi de cuart calibrate cu diametrul interior de 2 mm. De asemenea, au fost efectuate masuratori cu iluminare UV (365 nm) *in-situ*, la temperatura camerei, folosind un LED Thorlab (M365F1) cuplat prin fibra optica. Parametrii RES au fost determinati prin simulare cu programul EasySpin v. 5.2.16 [1]. Spectrele din banda Q au intensitate mica, cele prezентate mai jos fiind obtinute cu scanari multiple (8 scanari), in conditii de putere de microunde relativ mare (3 mW) si amplitudine de modulatie a campului magnetic de 3 G (0.3 mT).

In figura 8a prezintam spectrele RES inregistrate la RT pentru probele din sistemul SnO<sub>2</sub>-ZnO in care se observa atat efectul doparii cat si efectul decorarii cu Pd. Mentionam ca pentru fiecare proba au fost inregistrate si spectre cu iluminare UV (365 nm) *in-situ*, dar nu s-a observat nici un efect. Acest aspect va fi discutat mai jos.



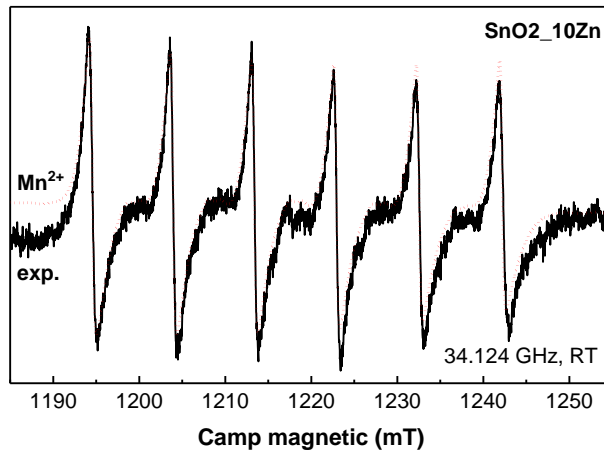
**Figura 8.** (a) Spectrele RES in banda Q ale probelor indicate, inregistrate la temperatura camerei (RT). (b) Spectre RES ale probei SnO<sub>2</sub> pur inregistrate la 100 K la puterile de microunde indicate (linie neagra) si simulari cu parametrii RES specifici centrilor NO (rosu) si N<sub>x</sub> (albastru).

Asa cum am aratat in etapa anteroara, spectrul RES al probei SnO<sub>2</sub> pur este unul complex, aspectul general variind cu puterea de microunde. Acest rezultat indica prezenta mai multor defecte paramagnetice cu proprietati de saturare diferite. Pentru o mai buna diferentiere a

diferitelor componente care alcatuiesc spectrul RES, in aceasta etapa am efectuat masuratori la temperaturi variabile, coborand temperatura de masura de la 300 K pana la 100 K. In figura 1b prezentam spectrele RES de la 100 K pentru puterile de microunde de 49.2 mW si 0.2 mW. Parametrii RES determinati pentru centrul paramagnetic dominant in spectrul masurat la 49.2 mW sunt:  $g_{xx} = 2.002 \pm 0.001$ ,  $g_{yy} = 2.001 \pm 0.001$ ,  $g_{zz} = 1.974 \pm 0.001$  si  $A_{xx} = (3 \pm 2) \times 10^{-4}$  cm $^{-1}$ ,  $A_{yy} = (30 \pm 2) \times 10^{-4}$  cm $^{-1}$ ,  $A_{zz} = (6 \pm 2) \times 10^{-4}$  cm $^{-1}$ . Aceste parametri sunt foarte apropiati de cei ai radicalului NO adsorbit in pozitii cationice de Sn $^{4+}$  in SnO<sub>2</sub> [2]. Centrul paramagnetic dominant in spectrul RES masurat la 0.2 mW satureaza la puteri mari de microunde si deci are o contributie foarte mica la spectrul masurat la 49.2 mW. Parametrii RES determinati pentru acest centru, notat N<sub>x</sub>, sunt:  $g_{xx} = 2.0019 \pm 0.001$ ,  $g_{yy} = g_{zz} = 2.0022 \pm 0.001$  si  $A_{xx} = (48 \pm 5) \times 10^{-4}$  cm $^{-1}$ ,  $A_{yy} = A_{zz} = (11 \pm 5) \times 10^{-4}$  cm $^{-1}$ . Acest centru ar putea corespunde unor radicali de azot adsorbiti la suprafata nanoparticulelor de SnO<sub>2</sub>. Spectrele RES ale ambilor centri continand azot, simulate cu parametrii de mai sus si cu largimea de linie  $\Delta B = 0.6$  mT, sunt reprezentate in figura 1b. Pe baza intensitatii spectrelor RES estimam concentratiile celor doi centri asociati azotului ca fiind mai mici de 0.01%.

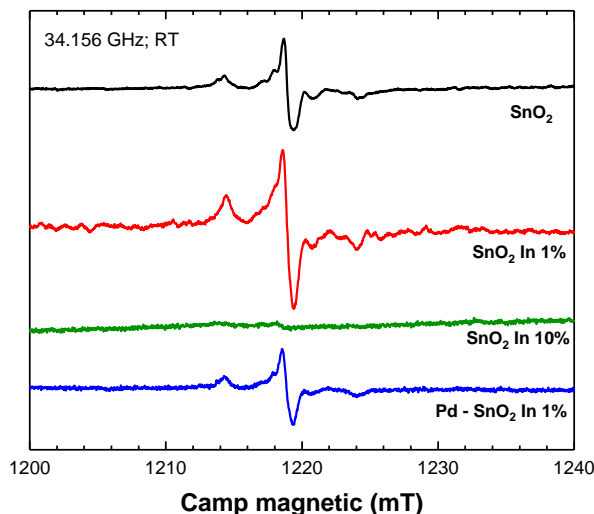
Probele obtinute prin adaos de Zn la sinteza prezinta spectre RES asemanatoare si complet diferite de spectrul probei SnO<sub>2</sub> pur, spectrul probei Pd/SnO<sub>2</sub>\_10Zn fiind de aproximativ sase ori mai slab decat spectrul probei SnO<sub>2</sub>\_10Zn (figura 8a). Spectrul consta in sase linii RES de intensitate, largime si separare ( $\sim 9.5$  mT) egale, specific ionilor izolati de Mn $^{2+}$  in medii policristaline. Pe baza intensitatii spectrelor RES estimam o concentratie a ionilor Mn $^{2+}$  de sub 0.01%. Parametrii RES determinati pentru centrii Mn $^{2+}$  sunt:  $g = 2.0009 \pm 0.0002$ ,  $A = -89.1 \pm 0.2 \times 10^{-4}$  cm $^{-1}$  si  $D = (180 \pm 60) \times 10^{-4}$  cm $^{-1}$ . Astfel de valori ale parametrului interactiei hiperfine (A) au fost observate pentru ioni Mn $^{2+}$  coordinati de mai mult de sase ioni oxigen [3], sau de sase molecule de apa [4]. O localizare a ionilor Mn $^{2+}$  la suprafata nanoparticulelor de SnO<sub>2</sub> ar permite astfel de coordinari. Figura 9 prezinta spectrul simulat cu parametrii de mai sus, cu o largime de linie  $\Delta B = 0.4$  mT si factor de largire de linie  $\sigma(D) = 43\% D$ . O astfel de valoare mare a  $\sigma(D)$  indica de asemenea o localizare a ionilor Mn $^{2+}$  in stratul superficial al nanoparticulelor, unde reteaua cristalina prezinta un grad mai ridicat de dezordine [5]. In acest caz, concentratia mai mica a ionilor Mn $^{2+}$  in proba decorata cu Pd se explica prin modificarea starii de oxidare sau a inconjurarii manganului in prezenta paladiului.

In probele cu adaos de Zn, Mn $^{2+}$  este o impuritate nativa, provenind din precursorul de Zn, deoarece nu apare in spectrul RES al probei SnO<sub>2</sub> pur. In acest caz, prezenta Mn $^{2+}$  in spectre si deci in reteaua SnO<sub>2</sub> poate fi asociata cu prezenta Zn $^{2+}$  in retea. De obicei, ionii Mn $^{2+}$  ocupă aceeasi pozitie in retea ca ionii Zn $^{2+}$  [5,6]. Putem deci considera ca ionii Zn $^{2+}$  sunt de asemenea localizati in stratul superficial al nanoparticulelor. La substitutia in volum a Sn $^{4+}$  cu Zn $^{2+}$  ne-am astepta sa avem o crestere a numarului de vacante de oxigen, pentru compensare de sarcina. Totusi, in spectrele RES nu s-a observat semnalul RES specific vacantelor ionizate [7], nici macar in cazul iluminarii UV *in-situ*.



**Figura 9.** Spectrul RES experimental (negru) si simularea cu parametrii corespunzatori centrilor de  $Mn^{2+}$  (rosu) in proba  $SnO_2\text{-}10Zn$ .

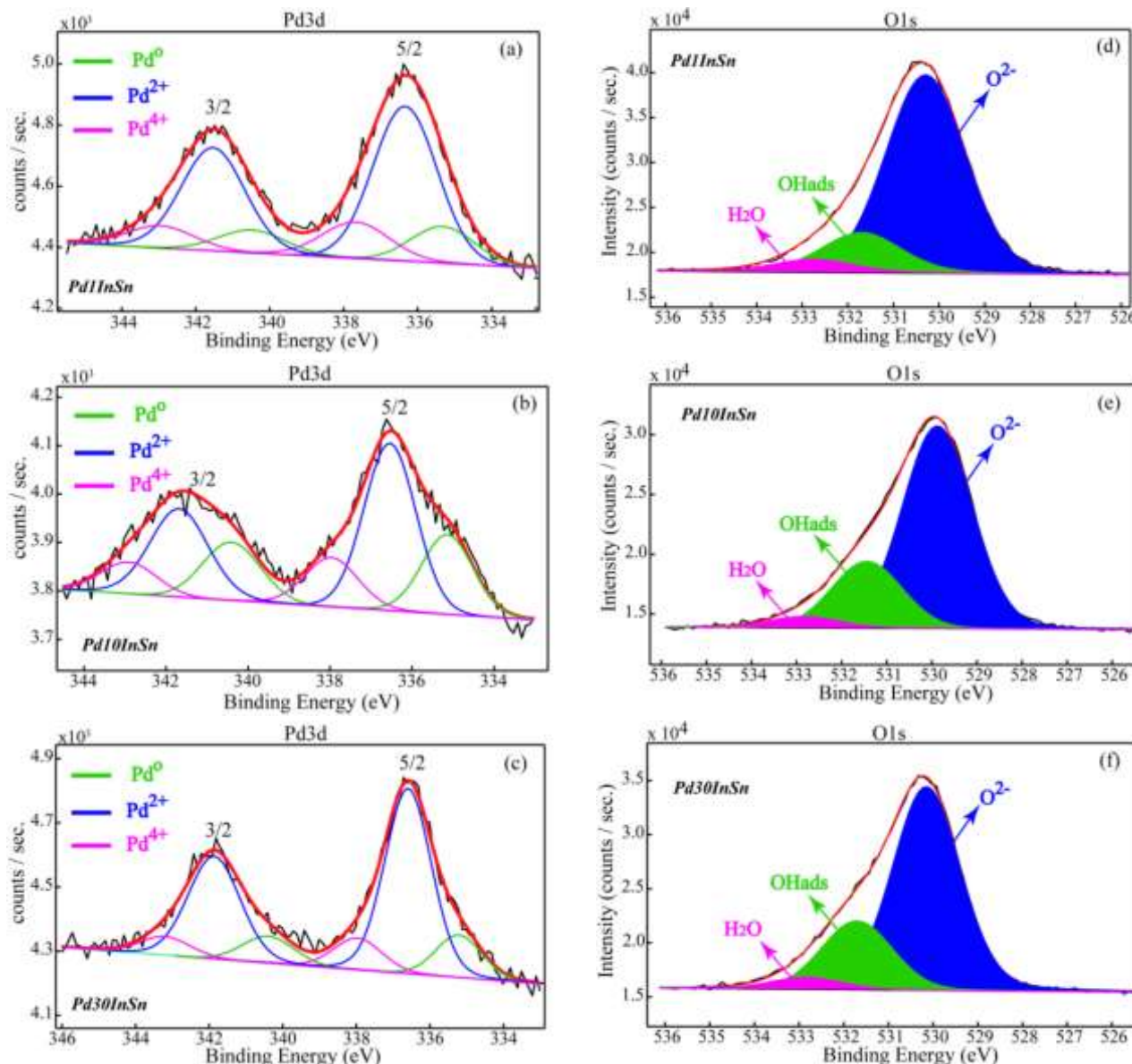
In figura 10 prezentam spectrele RES inregistrate la RT pentru probele din sistemul  $SnO_2\text{-InO}$  in care se observa atat efectul doparii cat si efectul decorarii cu Pd. Adaosul de In la sinteza, in cantitati relativ mici (1% nominal) duce la dublarea concentratiei de centri paramagneticii de azot. Daca ionii  $In^{3+}$  intra substitutional in retea in pozitii de  $Sn^{4+}$ , in stratul superficial al nanoparticulelor, cel mai probabil produc o crestere a reactivitatii suprafetei, stimuland adsorbtia radicalilor de azot. La decorarea cu Pd, acesta acopera si pasiveaza partial suprafata, reducand deci concentratia de radicali de azot adsorbiti. Cresterea concentratiei de In conduce foarte probabil la formarea de clusteri de In metalic sau oxidizi de In in zona superficiala a nanoparticulelor, pasivand suprafata, astfel incat pentru o concentratie nominala de 10% de In spectrul radicalilor de azot e aproape inexistent.



**Figura 10.** Spectrele RES in banda Q ale probelor indicate, inregistrate la temperatura camerei.

### Investigarea chimiei suprafetei prin spectroscopie de fotoelectroni cu raze-X.

Chimia suprafetei investigata prin Spectroscopia de Fotoelectroni cu raze-X (XPS) a fost utilizata pentru detectarea elementelor chimice prezente pe suprafață (<10 nm) precum și pentru evaluarea speciilor chimice asociate fiecarui element detectat.



**Figura 11.** Spectrele de inalta rezolutie pentru tranzitiile Pd3d si O1s pentru probele Pd1InSn, Pd10InSn si Pd20InSn. Datele numerice asociate prezentate in Tabelul 1.

In urma evaluarii cantitative s-a determinat stoichiometria experimentală de suprafață (concentrațiile atomice relative ale elementelor) precum și concentrațiile atomice ale cationilor. După colectarea spectrelor generale pe un domeniu larg de energii de legătură 0-1100 eV (nu sunt prezentate aici) s-au înregistrat spectrele de înaltă rezoluție pentru tranzițiile: C 1s, O 1s, Pd 3d, In 3d și Sn 3d. De menționat faptul că erorile privind masurarea energiei de legătură sunt de  $\pm 0,2$  eV, în timp ce erorile privind evaluarea cantitativă sunt de  $\pm 5\%$ .

In figura 11 sunt prezentate spectrele de înaltă rezoluție deconvolute pentru dubletul Pd3d (a-c) și respectiv singletul O1s (d-f). În urma procesului de deconvoluție au fost evidențiate trei stări de valență asociate pladiului: **Pd<sup>0</sup>**, **Pd<sup>2+</sup>** și **Pd<sup>4+</sup>**. Quantificarea stărilor de oxidare este prezentată în Tabelul 2.

**Tabelul 2.** Date XPS: Energiile de legătură și ponderile stărilor chimice ale Pd

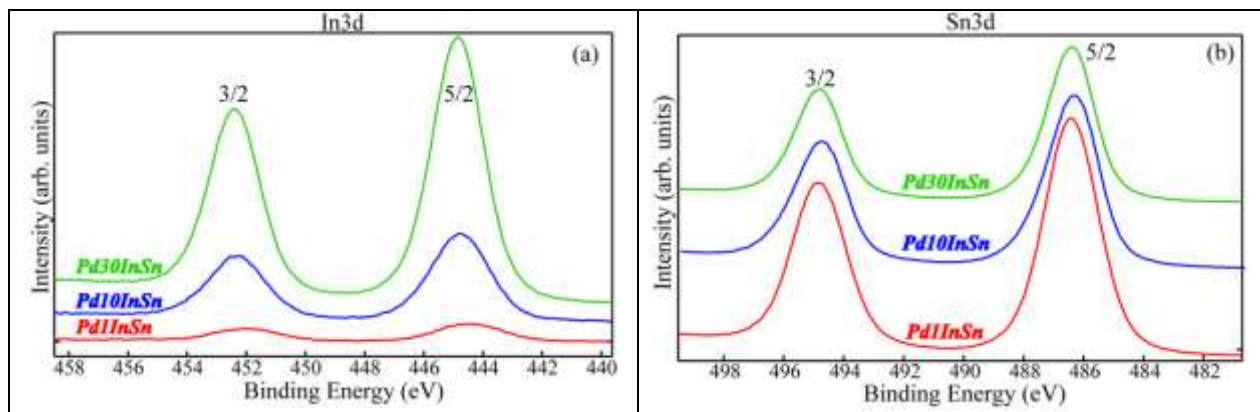
Sample	Pd <sup>0</sup> (335.1 $\pm$ 0.2) eV - 3d5/2 (340.4 $\pm$ 0.2) eV - 3d3/2	Pd <sup>2+</sup> (336.2 $\pm$ 0.2) eV - 3d5/2 (341.5 $\pm$ 0.2) eV - 3d3/2	Pd <sup>4+</sup> (337.9 $\pm$ 0.2) eV - 3d5/2 (343.0 $\pm$ 0.2) eV - 3d3/2
2Pd1InSn	15.7	67.7	16.6
2Pd10InSn	28.9	53.9	17.2
2Pd30InSn	16.4	71.1	12.5

Chimia oxigenului a fost evaluată în urma analizei singletului O1s pentru probele continând nanoparticule de Pd. Astfel, astfel cum se poate observa în figura 11 d-f și Tabelul 3, oxigenul detectat pe suprafață este compus din trei specii chimice atribuite astfel: i) oxigenul majoritar legat în rețea – O<sup>2-</sup>, ii) grupuri OH adsorbite pe suprafață și iii) respectiv urme de apă. Se observă o tendință de hidroxilare mai accentuată a suprafetei odată cu creșterea continutului de In.

**Tabelul 3.** Date XPS: Energiile de legătură și ponderile speciilor chimice ale oxigenului

Sample	O <sup>2-</sup> (530.3 $\pm$ 0.2) eV	OH (531.6 $\pm$ 0.2) eV	H <sub>2</sub> O (532.9 $\pm$ 0.2) eV
2Pd1InSn	78.4	16.4	5.2
2Pd10InSn	72.9	23.3	3.8
2Pd30InSn	72.0	24.1	3.7

Din datele colectate se observă că In și Sn (Figura 12 a, b) prezintă stări de oxidare 3+ respectiv 4+ cu energiile de legătură caracteristice tranzitiorilor In3d5/2 și Sn3d5/2 la  $\sim$ 486.3 eV și respectiv 486.3eV.



**Figura 12.** Spectrele de inalta rezolutie pentru tranzitile In3d(a) si Sn3d(b) pentru probele 2Pd1InSn, 2Pd10InSn si 2Pd30InSn. Datele numerice asociate prezentate in Tabelul 2.

#### Concentratiile atomice relative

O1s	Pd3d	In3d5	Sn3d5	
65.75	0.35	0.76	33.14	<b>2PdIIInSn</b>
64.95	0.29	4.70	30.06	<b>2Pd10InSn</b>
65.03	0.34	11.84	22.79	<b>2Pd30InSn</b>

#### 4. Studiul stabilitatii morfologice si structurale a sistemelor MOS-NP la temperatura variabila prin experimente de incalzire in-situ TEM.

Performantele unui senzor de gaze sunt puternic dependente, printre altele, de caracteristicile morfologice si microstructurale ale materialului care constituie mediul sensibil al senzorului. Pentru o buna sensibilitate este necesar ca materialul utilizat sa prezinte o suprafata specifica mare obtinuta in cazul materialelor nanostructurate avand dimensiuni nanometrice ale grauntilor cristalini. Pe de alta parte, regimul normal de lucru al senzorilor de gaze poate implica temperaturi de pana la 200-300 °C necesare pentru a livra energia de activare a chemisorbiei moleculelor de gaz ce se doreste a fi detectat. In general, aceste temperaturi se situeaza sub valoarea temperaturilor utilizate in timpul sintezei chimice a structurilor mezoporoase de SnO<sub>2</sub> sau in procesul de fabricare a senzorilor de gaze care implica depunerea de straturi groase de SnO<sub>2</sub>. Prin urmare, este de asteptat ca utilizarea in conditii normale de exploatare ca senzori de gaze a acestor structuri mezoporoase sa nu determine in timp modificari notabile la nivel structural sau morfologic. Situatia este insa mai complicata in cazul decorarii structurilor mezoporoase cu nanoparticule metalice sau oxidice. Interesul este ca nanoparticulele de decorare

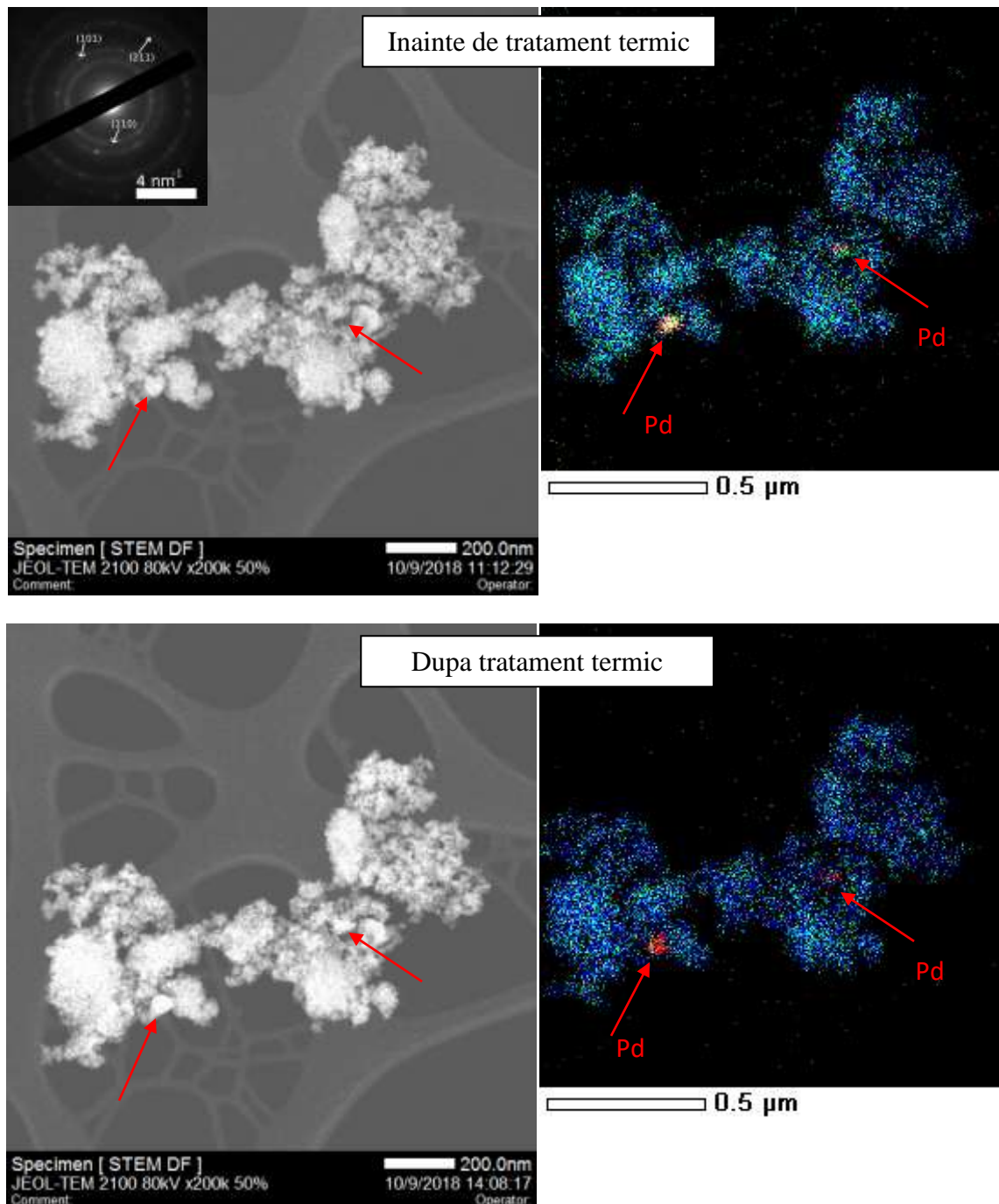
sa fie cat mai uniform dispersate in matricea mezoporoasa cu evitarea proceselor de aglomerare sau chiar de crestere cristalina, fenomene care pot avea loc la temperaturi de ordinul sutelor de grade Celsius. In scopul evidențierii proceselor care pot avea loc la astfel de temperaturi in special in ceea ce priveste nanoparticulele de decorare, in cadrul acestei etape de proiect am desfasurat experimente de tratamente termice in situ, cu urmarirea in timp real prin microscopie electronica prin transmisie a modificarilor morfostructurale ale probelor in functie de temperatura.

Pentru experimentele TEM in situ am folosit microscopul electronic prin transmisie JEM 2100, dotat cu port-proba specializata ce permite încălzirea probei pana la 1000 K in timpul observarii acesteia in fasciculul electronic. Temperatura port-proba a fost stabilizata cu ajutorul unei unitati de control (Heating Control Unit) probele fiind studiate in in intervalul de temperaturi de la temperatura camerei (RT) pana la 600 °C. In cazul probelor studiate in acest mod s-au urmait cateva aspecte: i. posibile modificari de ordin morfologic la nivelul matricii mezoporoase de  $\text{SnO}_2$ ; ii. posibile modificari de ordin morfologic si structural privind organizarea clusterilor pe baza de Pd sau Fe in functie de temperatura aplicata; iii. posibila modificare a distributiei spatiale a Pd sau Fe in interactie cu matricea de  $\text{SnO}_2$ . Aceste aspecte au fost monitorizate prin imagistica TEM si STEM, difractie de electroni pe arie selectata (SAED), spectroscopie EDS si cartografie chimica elementala la scala nanometrica prin STEM-EDS. Imaginele TEM/STEM si difractogramele SAED au fost inregistrate dupa stabilizarea probei la anumite valori de temperatura (e.g. RT, 200 °C, 400 °C, 600 °C). Din motive tehnice care tin de conditiile de functionare a echipamentului utilizat, spectrele EDS si cartogramele elementale au fost inregistrate numai la temperatura camerei, atat la inceputul experimentului cat si, comparativ, dupa racirea probei in microscop in urma tratamentului termic aplicat.

### **Proba Pd20InSn**

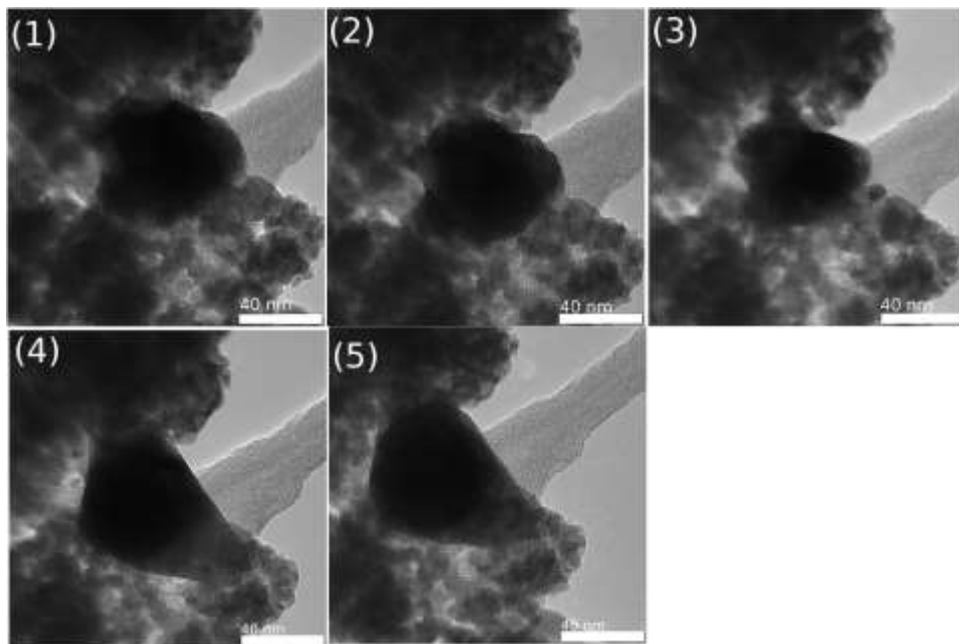
Primul pas a constat in cartografirea chimica a probelor cu evidențierea modului de distribuire spatiala a elementului folosit la decorare (Pd sau Fe). Asa cum s-a putut observa la o scara mai mare prin microscopie electronica analitica cu baleaj, Pd nu prezinta o distributie spatiala uniforma, fiind aglomerat in formatiuni cu dimensiuni de ordinul zecilor de nm imprastiate in jurul structurilor mezoporoase pe baza de  $\text{SnO}_2$ . In figura 13 este prezentata imaginea STEM-ADF a unei astfel de formatiuni in cazul probei Pd20InSn unde se poate observa segregarea Pd in timpul sintezei chimice sub forma de aglomerari cu dimensiuni de cca. 50 nm. Diagrama SAED inserata in imaginea STEM achizitionata inainte de tratamentul termic indica faza tetragonalala  $\text{SnO}_2$ , aspectul difuz al inelelor de difractie datorandu-se dimensiunii mici ale cristalitelor. Nu au fost identificate spoturi de difractie suplimentare In harta chimica STEM-EDS intensitatile semnalelor de In si Sn sunt reprezentate cu verde, respectiv albastru, in timp ce cu rosu este reprezentat semnalul de Pd. Aceasta aglomerare de  $\text{SnO}_2$ :In decorata cu Pd a fost monitorizata din punct de vedere morfologic si structural in microscopul electronic pe parcursul aplicarii unui tratament termic pana la 600 °C. Dupa stabilizarea probei la valori de temperatura alese (200, 400 si 600 °C), la fiecare palier de temperatura au fost inregistrate imagini si

difractogramme SAED urmarindu-se posibile modificari morfo-structurale in functie de temperatura. Seventa de imagini TEM din figura 14 inregistrate la RT, 200 °C, 400 °C, 600 °C,



**Figura 13.** Imagine STEM-ADF si cartograma elementala a probei Pd<sub>20</sub>InSn la temperatura camerei, inainte si dupa tratamentul termic in situ la 600 °C. Pd este ilustrat cu rosu, în timp ce semnalele de In si Sn sunt ilustrate cu verde, respectiv albastru.

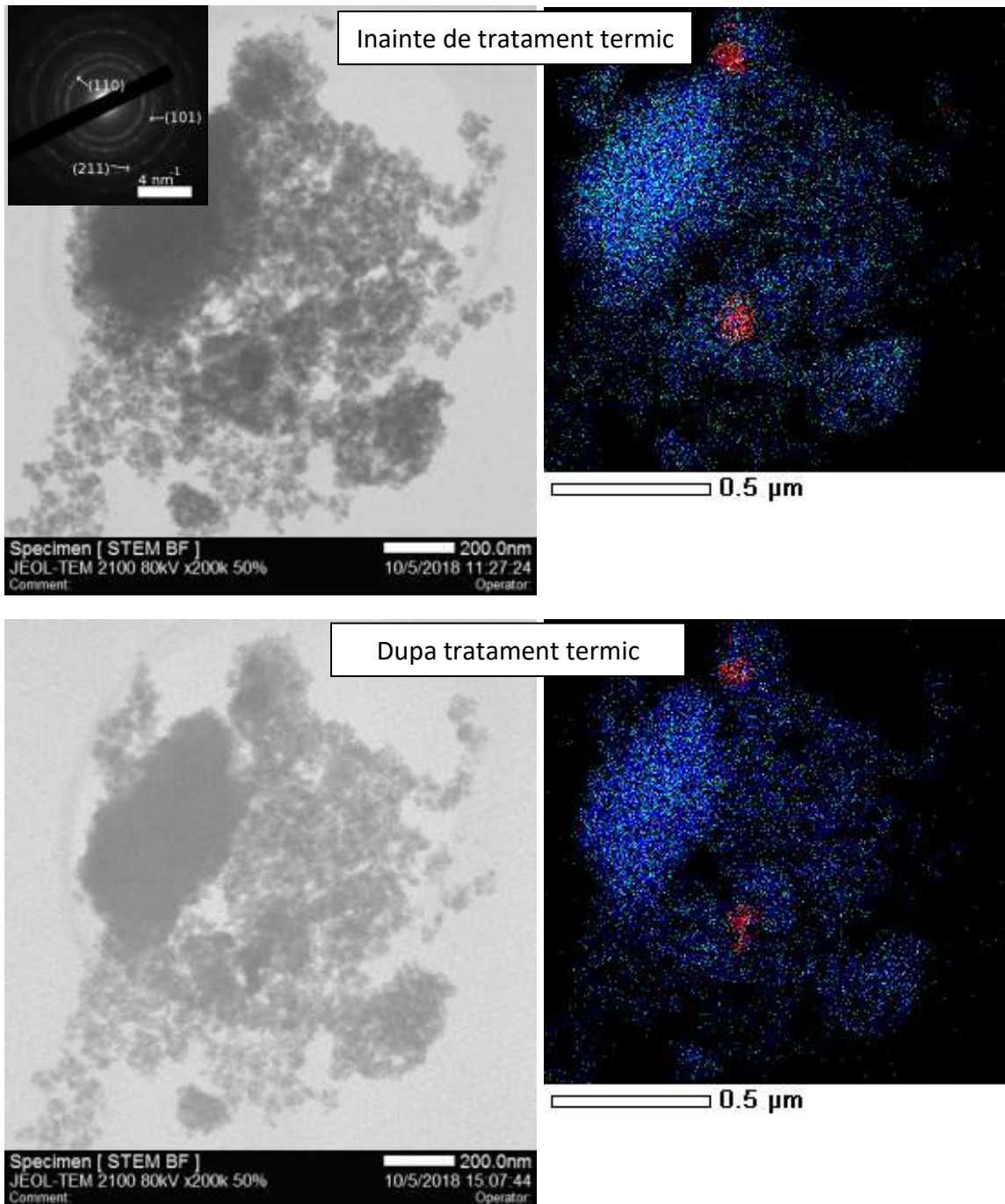
respectiv RT după racire, ilustrează evoluția morfologică în funcție de temperatură a unui cluster de nanoparticule de Pd. În timpul încalzirii, se observă o schimbare a morfologiei cluster-ului de Pd, care a fost de asemenea confirmată și de cartogramele EDS realizate după încalzire în comparație cu cea initială. Pe imaginea înregistrată la 600 °C se constată o modificare a contrastului caracteristic cluster-ului de Pd care indică un proces de creștere cristalină cu trecerea de la o morfologie de nanoparticule aglomerate la un cristalit bine definit care prezintă fățute cristaline. De asemenea, imaginile STEM-ADF și cartogramele chimice indic o densificare locală, în special în cazul aglomerarilor bogate în Pd, marcate cu sageti roșii în figura 13. Aceste observații sunt foarte importante, întrucât variațiile morfologice la nivelul nanoparticulelor pe bază de Pd pot avea implicații semnificative în ceea ce privește sensibilitatea senzorului de gaze, dat fiind rolul de catalizator al nanoparticulelor de Pd. Pe de altă parte trebuie menționat faptul că schimbările morfologice observate au avut loc la temperaturi mai mari decât temperatura de procesare sau cea de lucru în condiții normale a senzorului.



**Figura 14.** Serie de imagini TEM care arată evoluția morfologică a unei aglomerări de Pd în funcție de temperatură la (1) RT, (2) 200 °C, (3) 400 °C, (4) 600 °C, (5) RT după răcire.

#### Proba Pd1InSn

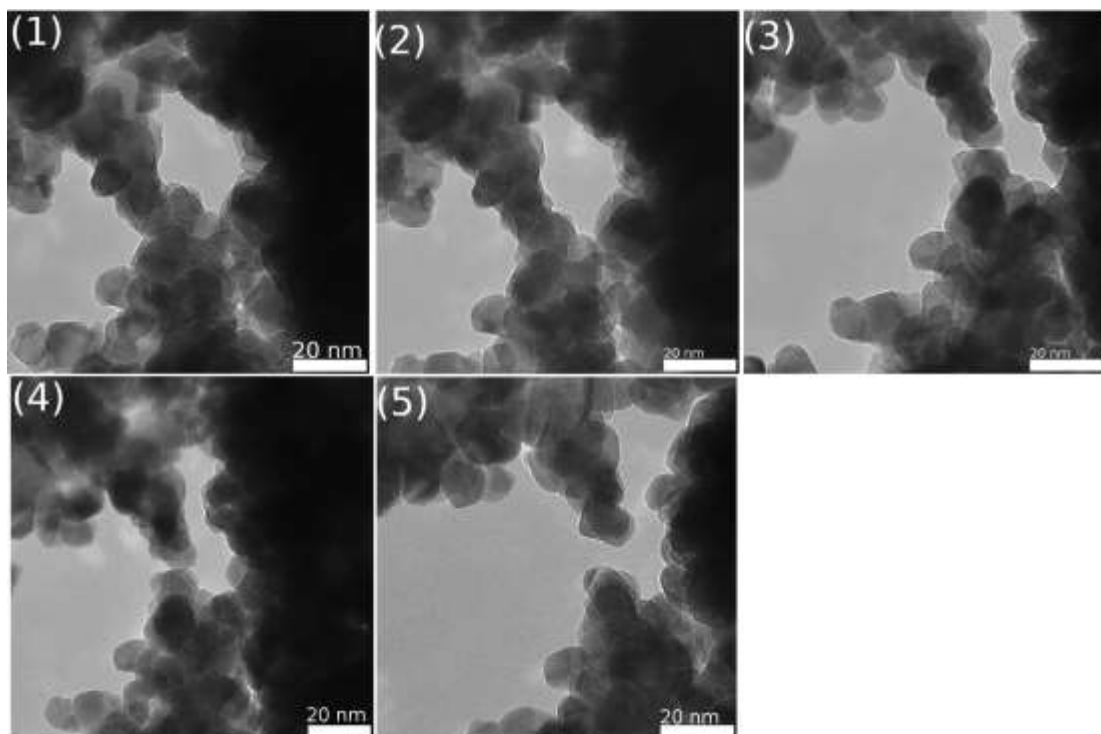
Investigații similare întreprinse în cazul probei Pd1InSn arată un comportament opus al aglomerarilor bogate în Pd, și anume faptul că după un tratament termic la 600C, cluster-ul de Pd începe să se descompuna (figura 15).



**Figura 15.** Imagine STEM-ADF si cartograma elementala a probei Pd<sub>1</sub>InSn la temperatura camerei, inainte si dupa tratamentul termic in situ la 600 °C. Pd este ilustrat cu rosu, în timp ce semnalele de In si Sn sunt ilustrate cu verde, respectiv albastru.

In figura 16 este prezentata o secventa de imagini TEM ale unui cluster de SnO<sub>2</sub> dopat cu In, obtinute la temperaturi diferite de la RT pana la 600 °C. Cluster-ul de SnO<sub>2</sub> este situat in

vecinatatea unei aglomerari de Pd care se decompune. Se observa cum are loc o reorganizare a nanoparticulelor de  $\text{SnO}_2$  odata cu cresterea temperaturii peste  $400^\circ\text{C}$ , avand la baza procese de difuzie atomica urmante de „reasezarea” nanoparticulelor de  $\text{SnO}_2$  unele in raport cu altele sau chiar de crestere cristalina. Dinamica acestor procese poate avea ca rezultat ruperea unor „legaturi” existente intre nanoparticulele de  $\text{SnO}_2$ , asa cum este ilustrat in figura 16. Daca in regiunea respectiva exista si nanoparticule de Pd sau  $\text{PdO}$  ce decoreaza aglomerarea de nanoparticule  $\text{SnO}_2$ , atunci acest proces dinamic poate avea ca rezultat dispersarea aglomerarilor de Pd, asa cum evidentiaza hartile chimice elementale din figura 15.

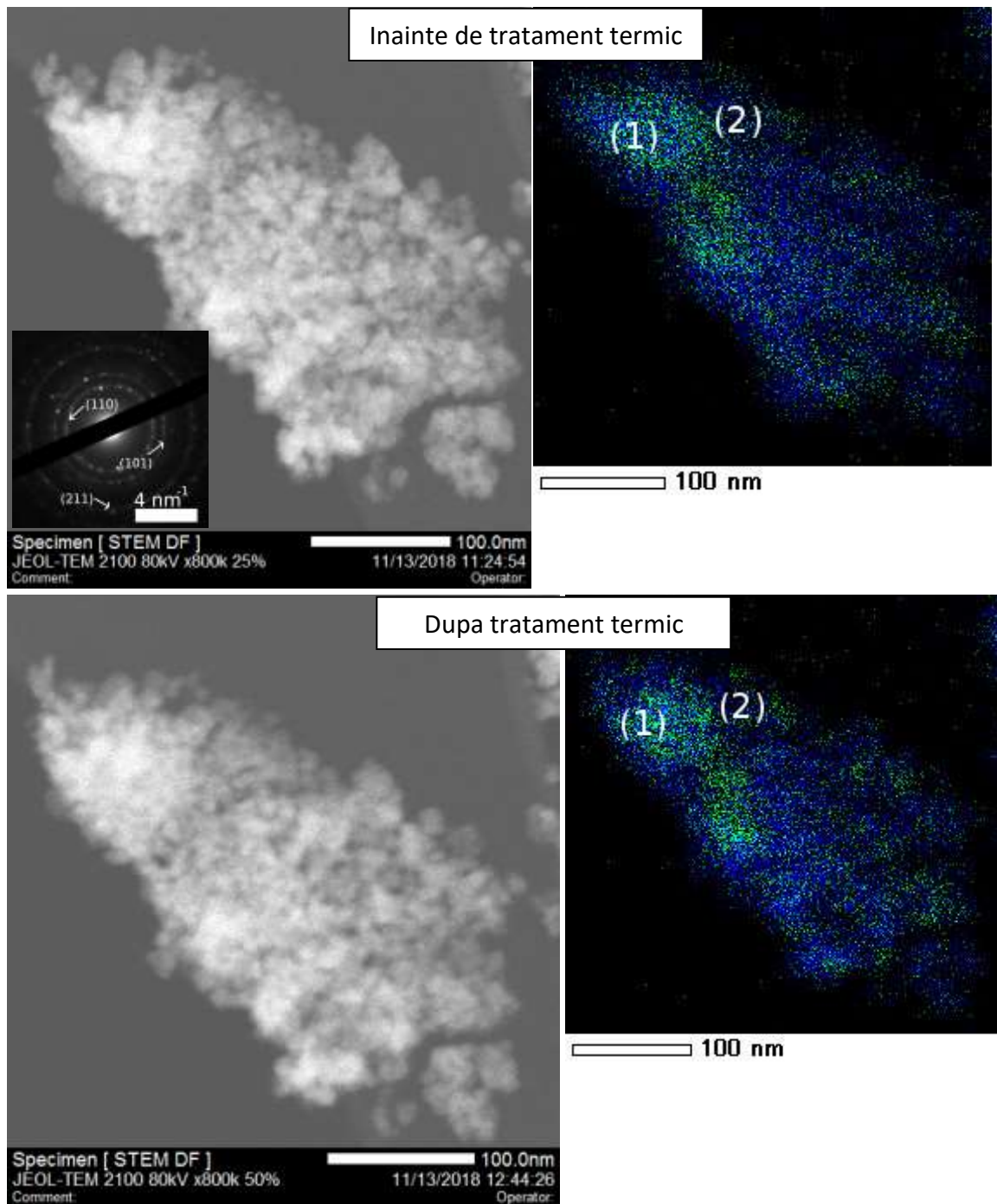


**Figura 16.** Serie de imagini TEM care arata evolutia morfologica a unei aglomerari de nanoparticule de  $\text{SnO}_2$  in functie de temperatura la (1) RT, (2)  $200^\circ\text{C}$ , (3)  $400^\circ\text{C}$ , (4)  $600^\circ\text{C}$ , (5) RT după răcire.

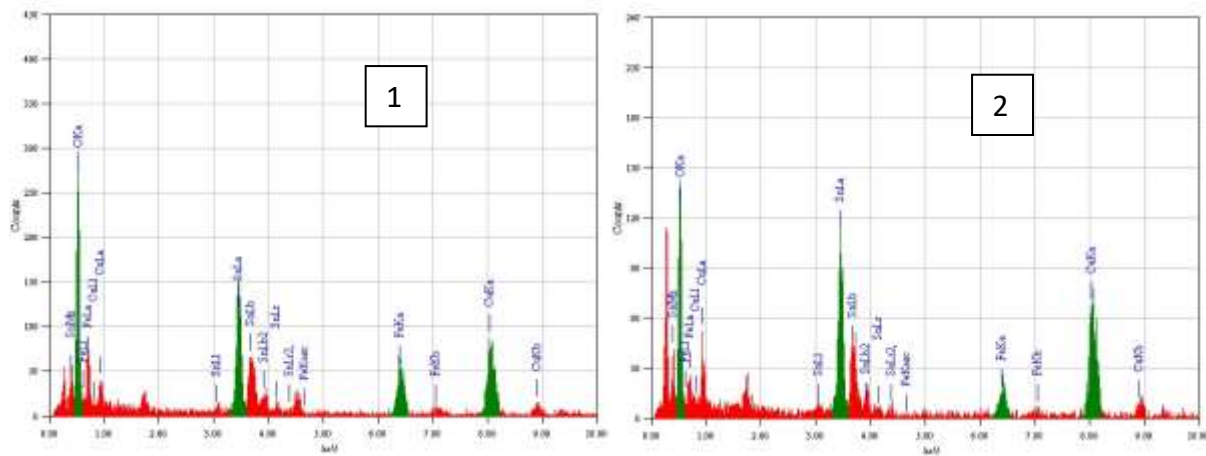
#### Proba $\text{SnO}_2 10\% \text{Fe}_2\text{O}_3$

Incălzirea probei in microscop a fost realizata pana la  $500^\circ\text{C}$ , iar seria de imagini TEM din figura 19 a fost achizitionata la RT,  $300^\circ\text{C}$ ,  $500^\circ\text{C}$ , respectiv la RT după răcire. In figura 17 sunt prezentate imaginea STEM-ADF a unei aglomerari de nanocrystalite de  $\text{SnO}_2$  decorate cu Fe precum si harta chimica elementala asociata, obtinuta prin STEM-EDS la temperatura camerei inainte si dupa aplicarea tratamentului termic in microscop. Difractograma SAED inserata in imaginea din figura 17 indica numai faza tetragonala  $\text{SnO}_2$ , fara sa poata fi identificata o faza cristalina asociata decorarii cu Fe, asa cum a rezultat si in urma indexarii diagramei XRD

asociate. Cu toate acestea, prezenta Fe in urma procesului de decorare este demonstrata de analiza EDS, atat in SEM, cum s-a aratat, cat si in TEM.

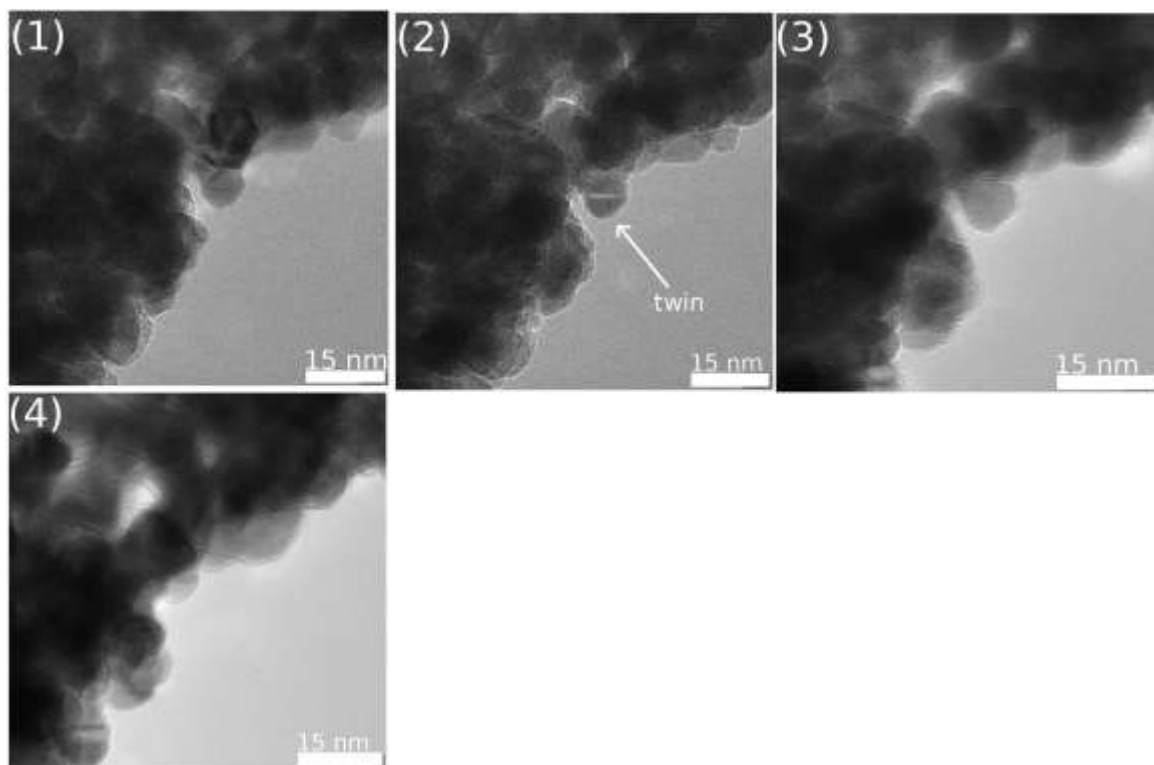


**Figura 17.** Imagine STEM-ADF si cartograma elementala a probei  $\text{SnO}_2$  decorata cu Fe la temperatura camerei, inainte si dupa tratamentul termic in situ la  $600\text{ }^{\circ}\text{C}$ . Semnalele de Fe si Sn sunt reprezentate cu verde, respectiv albastru.



**Figura 18.** Spectre EDS din zonele (1) și (2) extrase din cartograma EDS după încălzire.

Spectrele EDS corespunzătoare zonelor marcate cu (1) și (2) pe harta chimică înregistrată după încalzirea în microscop sunt prezentate în figura 18. Din analiza cantitativă a celor două spectre rezulta un raport atomic Fe:Sn de 30:70 în zona marcată (1) și 17:83 în zona marcată (2) înainte de tratamentul termic *in situ*. Acest raport nu se modifică semnificativ după efectuarea tratamentului termic, valorile numerice ale raportului atomic Fe:Sn devenind 30:70 în zona marcată (1) și 10:90 în zona marcată (2). Cartogramele chimice EDS din figura 17, atât înainte ca și după încalzire, arată că distribuția spatială a Fe este relativ neuniformă, însă fără acumulari locale importante asociate unor cristalite mari sau unei aglomerări semnificative de cristalite. Rezulta că, spre deosebire de Pd, Fe este distribuit la o scară mai mică (poate la nivel de clusteri de atomi) și mai uniform din punct de vedere spatial, ceea ce explica lipsa semnalului de difracție în XRD și SAED. Aceast mod de dispersare se pastrează și după aplicarea tratamentului termic la 500 °C. În seria de imagini TEM achiziționate la RT, 300 °C, 500 °C, respectiv la RT după răcire (figura 19) se poate observa procesul de eliminare a unor defecte structurale extinse din interiorul nanoparticulelor de SnO<sub>2</sub> (un defect de tip „twin” este indicat cu sageata alba) în urma aplicării tratamentului termic.



**Figura 19.** Serie de imagini TEM care arata evolutia morfologica in functie de temperatura a unei aglomerari de nanoparticule din proba  $\text{SnO}_2$  decorata cu Fe la (1) RT, (2)  $300\text{ }^{\circ}\text{C}$ , (3)  $500\text{ }^{\circ}\text{C}$ , (4) RT după răcire.

##### **5. Reconstuctia 3D si modelarea la scala nanometrica prin tomografie cu electroni a sistemelor eterogene mesoporoase MOS-NP (partea1)**

Cartografia EDS realizata in modul STEM pe probele decorate cu Pd a aratat o segregare a Pd in clusteri avand dimensiuni de pana la  $\sim 250\text{ nm}$ . Determinarea relatiei spatiale dintre cluster si matricea  $\text{SnO}_2$  precum si morfologia intregului sistem se poate face doar folosind tehnici de imagistica 3D, iar singura tehnica ce este capabila sa distinga caracteristici morfologice la scala nanometrica este tomografia cu electroni.

Prepararea probei pentru tomografie pe o membrana de carbon, folosind metoda pulberilor, trebuie sa indeplineasca o serie de cerinte. Proba ideală pentru tomografie trebuie sa fie suficient de subtire, materialul investigat trebuie sa fie bine distribuit pe membrana de carbon (trebuie sa existe cat mai multe zone de interes, sa fie cat mai departate una de cealalta pentru a evita suprapunerea la unghiuri de inclinare mari, aproape de axa X de inclinare), trebuie sa fie ne-contaminabila (chiar si in timpul mai multor ore de achizitie), stabila din punct de vedere mecanic si trebuie sa fie inconjurata de un numar cat mai mare de markeri (de obicei nanoparticule de Au sferice cu o distributie dupa dimensiuni bine definita).

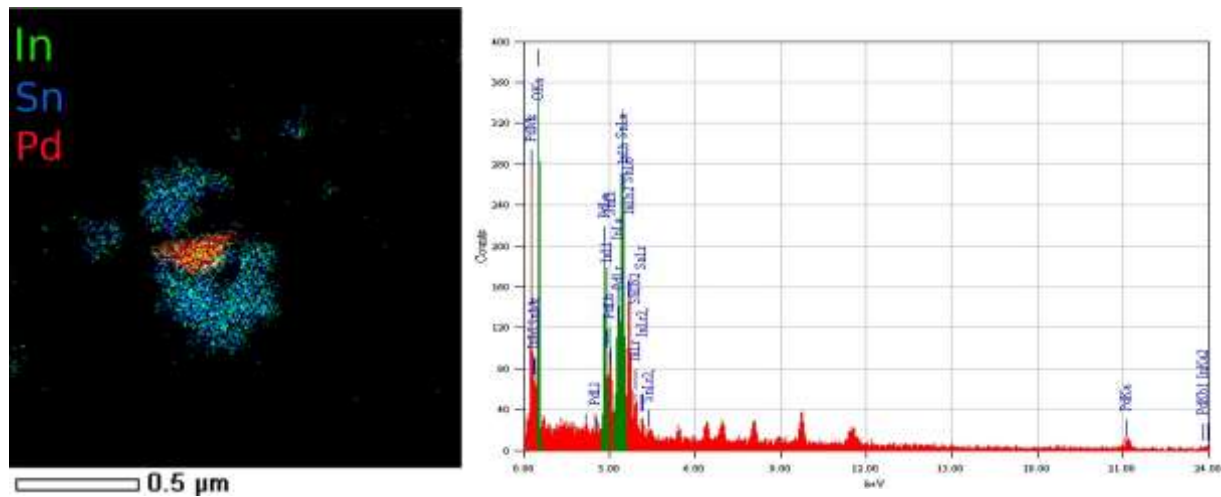
Alegerea grilei de microscopie pentru prepararea probei este un compromis intre stabilitatea mecanica (grila cu ochiuri „dese”) si domeniul unghiular accesibil pentru inclinarea probei fara efecte de umbrare. In cadrul experimentelor noastre am fost folosită o grilă de Ni mesh 200 (200 de ochiuri pe inch) prevazuta cu membrana de carbon de tip ”holey”. Grila a fost decorata cu nanoparticule de Au, avand dimensiuni de 5 nm (markeri sferici) care s-au dovedit a fi optime pentru realizarea fazei de reconstructie. Trebuie mentionat faptul ca dimensiunea marker-ilor trebuie adaptata la dimensiunea detaliilor morfologice investigate si, implicit, la marirea microscopului la care se lucreaza, dimensiunea spot-ului de scanare si rezolutia imaginii. Dupa decorare, cateva picături de suspensie lichida pe baza de etanol continand pulbere de Pd30InSn au fost depuse pe grila prevazuta cu markeri de Au.

Inainte de introducerea in microscop, proba a fost curatata intr-o plasma RF de argon si oxigen pentru a minimiza contaminarea. Pentru achizitia seriei de imagini tomografice in intervalul unghiular de la -65 la 65 de grade, cu o rezolutie de 1 grad s-a utilizat procedura de achizitie automata folosind interfata de comanda a microscopului.

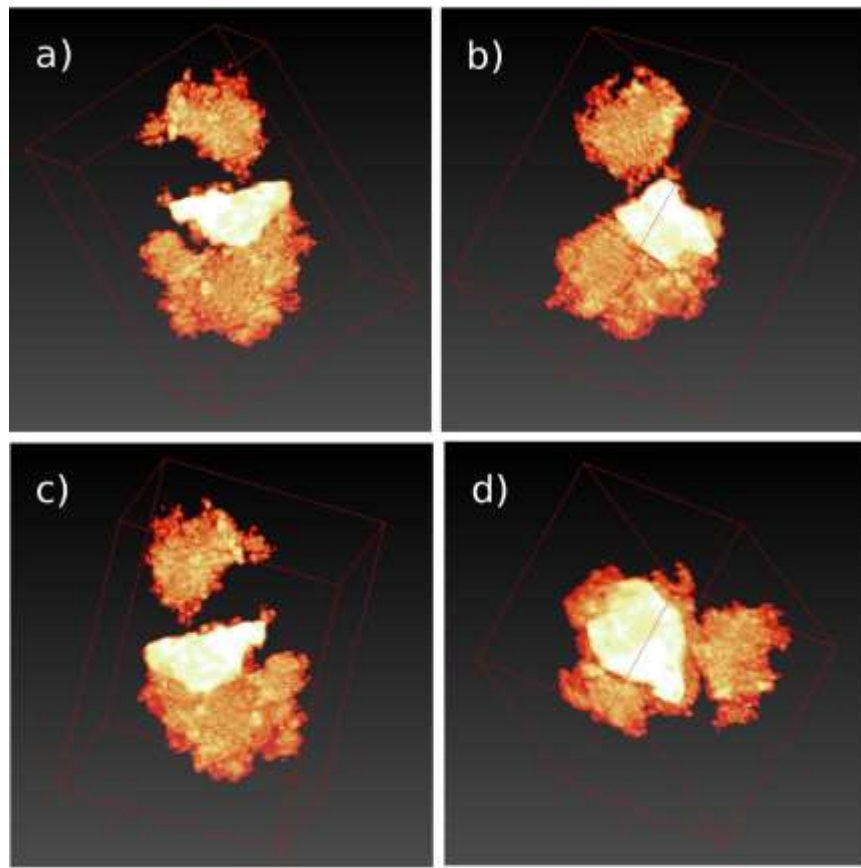
Seria de 131 de imagini a fost folosita pentru reconstructia 3D a obiectului investigat. O suita de programe a fost folosita de-a lungul etapelor de procesare digitala a datelor: Fiji pentru procesarea individuală a imaginilor, Komposer si IMOD pentru alinierea pachetului de imagini si reconstructia 3D, tomo3D pentru reconstructie, Visualiser-Kay si Slicer pentru segmentarea imaginilor pe nivele de gri a tomogramei.

In ceea ce priveste reconstructia 3D din proiectiile paralele ale obiectului 3D reprezentate de cele 131 de imagini obtinute in microscop, programele de reconstructie folosesc de obicei algoritmii denumiti Weighted Back-Projection (WBP), Simultaneous Iteration Reconstruction Technique (SIRT) si Simultaneous Algebraic Reconstruction Techniques (SART). Cel mai rapid algoritm de reconstructie este WBP si a fost folosit pentru acest studiu. Algoritmul se bazeaza pe observatia ca fiecare imagine la un anumit unghi obtinuta din STEM (contrast de Z) este de fapt o transformata de tip Radon a obiectului 3D. Prin urmare, obiectul 3D poate fi reconstruit folosind transformata Radon inversa. Provocarea algoritmilor de reconstructie consta in capacitatea de a reconstrui cu cat mai putine artefacte (raport zgomot-semnal bun) obiecte 3D pornind de la un set de imagini discrete, situate intr-un domeniu unghiular limitat. In cazul cel mai simplu, o reconstructie folosind transformata Radon inversa va induce zgomot de frecventa spatiala joasa din cauza supraesantionarii informatiei in jurul axei de inclinare. Acest lucru poate fi evitat printr-o ponderare a fiecarei imagini in spatiul Fourier si apoi realizand o reconstructie din proiectiile inverse ponderate. Odata ce imaginea 3D este reconstruita, pozitia fiecarui punct din volumul obtinut este descrisa de un voxel, cu un anumit nivel de gri, legat direct de numarul atomic Z si de grosimea materialului (contrast de masa si grosime).

Optimizarea procesului de reconstructie 3D aplicata in cazul probei Pd30InSn este ilustrata in figurile 20 si 21. In figura 20 este prezentata harta chimica elementala obtinuta in modul STEM-EDS pe o aglomerare de nanoparticule de SnO<sub>2</sub>:In decorata cu Pd. Semnalul de In si Sn sunt reprezentate cu verde si albastru, iar Pd este reprezentat cu rosu. Alaturat este spectrul EDS corespunzator care atesta prezenta celor 3 elemente. Pentru a determina relatia morfologica



**Figura 20.** Cartograma si spectru EDS care arată segregarea Pd în raport cu matricea  $\text{SnO}_2$ .



**Figura 20.** Serie de imagini în diverse orientări obținute în urma procesului de segmentare a reconstrucției 3D a cluster-ului de Pd în raport cu matricea de  $\text{SnO}_2$  dopat cu In.

dintre clusterul bogat in Pd si aglomerarea mezoporoasa de SnO<sub>2</sub>:In, aceasta formatiune a fost analizata prin tomografie cu electroni parcurgand etapele descrise mai sus. Imaginele din figura 21 sunt proiectii in diverse orientari ale obiectului 3D reconstituit, obtinute prin procesul de segmentare cu ajutorul programului Visualizer-Kai. In reprezentarea sub forma de culori false, galbenul deschis este asociat intervalului de intensitate a semnalului de electroni imprastiat corespunzator Pd (pe baza contrastului de masa-grosime specific STEM-ADF), iar galbenul inchis este asociat canalelor de intensitate asociate SnO<sub>2</sub> dopat cu In. Analiza obiectului 3D rezultat in urma procesului de reconstructie tmografica permite evidențierea clara a modului in care particulele bogate in Pd formeaza aglomerari compacte cu dimensiuni de ordinul 100-200 nm care decoreaza aglomerari mezoporoase de SnO<sub>2</sub>. Rezultatele studiului prin reconstructie tomografica sunt deosebit de importante in ceea ce priveste intelegera comportamentului acestui material utilizat ca senzor de gaz, in special in termeni de sensibilitate, in functie de tipul de decorare (material folosit si mod de dispersare in raport cu matricea de SnO<sub>2</sub>). Aceste corelatii vor face subiectul etapei urmatoare de proiect.

## 6. Diseminare

Rezultatele obtinute pe parcursul acestei etape de proiect sunt inca in curs de procesare pentru publicare sau fac subiectul unor articole/manuscris. Subliniez implicarea activa a tinerilor cercetatori in activitatile de achizitie si procesare a datelor precum si la activitati de diseminație prin participarea acestora la realizarea articolelor stiintifice. De asemenea, in cazul celui mai tanar membru al grupului, mentionez participarea la scoala de EELS si EFTEM (<https://www.felmi-zfe.at/teaching/ill-courses/european-eels-eftem-school/>) organizata de FELMI-ZFE, Graz University of Technology, Austria in perioada 6-9 Februarie 2018.

### Articole publicate si manuscrise in curs de publicare

1. Networked mesoporous SnO<sub>2</sub> nanostructures templated by Brij (R) 35 with enhanced H<sub>2</sub>S selective performance  
A. Stanoiu, C. E. Simion, A. Sackmann, M. Baibarac, O. G. Florea, P. Osiceanu, V. S. Teodorescu, S. Somacescu,  
*Microporous and Mesoporous Materials* **270**, 93-101 (2018)
2. Nanoclustered multi-valence Pd decorated nanocrystalline Zn doped SnO<sub>2</sub> co-templated by Brij 52 and TPA for ppb NO<sub>2</sub> detection at low temperature  
S. Somacescu, C. Ghica, C. E. Simion, A. C. Kuncser, A. M. Vlaicu, M. Stefan, D. Ghica, O. G. Florea, I. F. Mercioniu and A. Stanoiu  
*Sensors and Actuators B Chemical* (submitted)

3. Insight into the Dopant Distribution Dynamics in Mn-Doped ZnO Nanocrystals Submitted to Gentle Thermo-Chemical Treatments

I. D. Vlaicu, D. Ghica, M. Stefan, A. V. Maraloiu, A. C. Joita, C. Ghica

*Scientific Reports* (submitted)

**Participare la scoli si conferinte nationale si internationale:**

Cosmin Marian ISTRATE

6-9 Februarie 2018 - Participare la FELMI/European EELS & EFTEM School organizata de FELMI-ZFE, Graz University of Technology, Austria.

Aurel Mihai VLAICU

26-30 Noiembrie 2018 - Participare la scoala internationala "Materials Characterization by the Combined Analysis" MAUD 2018 organizata de Universitatea din Trento, Italia

Cosmin Marian ISTRATE

01.10.2018 - Doctorand la Facultatii de Fizica, Universitatea din Bucuresti, cu tematica "Informatie structurala si spectroscopica locala in materiale nanostructurate", coordonator Dr. Valentin Serban Teodorescu

**Pagina web a proiectului:**

<http://infim.ro/project/caracterizarea-la-scala-nanometrica-a-materialelor-functiionale-avansate-de-la-2d-la-3d/>

Obiectivele si activitatile prevazute pentru aceasta etapa au fost indeplinite integral.

Director proiect,

Dr. Corneliu GHICA

**Referinte**

[1] S. Stoll, A. Schweiger, "EasySpin, a comprehensive software package for spectral simulation and analysis in EPR", J. Magn. Reson. 178, 42-55 (2006)

[2] S. Livraghi, N. Barbero, S. Agnoli, C. Barolo, G. Granozzi, F. Sauvage, E. Giamello, "A multi-technique comparison of the electronic properties of pristine and nitrogen-doped polycrystalline SnO<sub>2</sub>", Phys. Chem. Chem. Phys. 18, 22617-22627 (2016)

[3] M. Stefan, S. V. Nistor, E. Goovaerts, M. Nikl, P. Bohacek, "Temperature dependence of the EPR spectra of Mn<sup>2+</sup> impurity ions in PbWO<sub>4</sub> single crystals", J. Phys.: Condens. Matter 17, 719-728 (2005)

- [4] S. A. Altshuler, B. M. Kozyrev, Electron Paramagnetic Resonance, New York, London: Acad. Press (1964)
- [5] M. Stefan, S. V. Nistor, D. Ghica, “Correlation of Lattice Disorder with Crystallite Size and the Growth Kinetics of Mn<sup>2+</sup> Doped ZnO Nanocrystals Probed by EPR”, Cryst. Growth Des. 13, 1350-1359 (2013)
- [6] D. Ghica, M. Stefan, C. Ghica, G. E. Stan, “Evaluation of the Paramagnetic Impurities Segregation at Grain Boundaries in Nanostructured ZnO Films”, ACS Appl. Mater. & Interfaces 6, 14231–14238 (2014)
- [7] Y. Mizokawa, S. Nakamura, “ESR and Electric Conductance Studies of the Fine-Powdered SnO<sub>2</sub>”, Jpn. J. Appl. Phys. 14, 779 (1975)